

Zmieszanie izospinowe  
stanów wyrzutowanych z wyznaczników Slatera:  
formalizm i pierwsze zastosowania

M. Rafalski, W. Satuła, J. Dobaczewski

*Katedra Teorii Struktury Jąder Atomowych,  
Instytut Fizyki Teoretycznej, Uniwersytet Warszawski*

Warszawa, 10.XII.2008

## Plan

1. Możliwości testowania unitarności macierzy CKM
2. Łamanie symetrii izospinowej
3. Procedura rzutowania na stany o określonym izospinie
4. Zależność wyników od wielkości bazy
5. Zmieszanie izospinowe w jadrach atomowych
6. Podsumowanie

Prezentowana procedura rzutowania na stany o określonym izospinie została zaimplementowana w programie HFODD.

Wszystkie prezentowane rezultaty zostały otrzymane przy pomocy tego programu.

# Możliwości testowania unitarności macierzy CKM poprzez superdozwolony rozpad $\beta$

Poprawność modelu standardowego jest nierozzerwalnie związana z zagadnieniem unitarności macierzy CKM, które w związku z tym jest jednym z intensywnie badanych problemów fizyki cząstek elementarnych. Okazuje się, że również fizyka jądrowa może mieć istotny wkład w rozwiązanie powyższego zagadnienia. Pomiar superdozwolonego rozpadu  $\beta$  Fermiego pomiędzy jądrowymi stanami analogowymi  $J^\pi = 0^+, T = 1$  pozwala na precyzyjne wyznaczenie elementu  $V_{ud}$  macierzy Cabibbo-Kobayashi-Maskawy:

$$\begin{pmatrix} d' \\ s' \\ b' \end{pmatrix} = \begin{pmatrix} V_{ud} & V_{us} & V_{ub} \\ V_{cd} & V_{cs} & V_{cb} \\ V_{td} & V_{ts} & V_{tb} \end{pmatrix} \begin{pmatrix} d \\ s \\ b \end{pmatrix}$$

Wyznaczenie wartości  $V_{ud}$  umożliwia testowanie modelu standardowego przez badanie unitarności macierzy CKM w zakresie jej górnego rzędu: polega ono na sprawdzeniu, czy  $|V_{ud}|^2 + |V_{us}|^2 + |V_{ub}|^2 = 1$ .

[1] J.C. Hardy i I.S. Towner, Phys. Rev. C **71**, 055501 (2005)

## Możliwości testowania unitarności macierzy CKM poprzez superdozwolony rozpad $\beta$

Badanie superdozwolonego rozpadu  $\beta$  Fermiego pomiędzy stanami  $J^\pi = 0^+, T = 1$  w jądrze matki i jądrze córki dostarcza informacji niezbędnych do wyznaczenia elementu  $V_{ud}$  macierzy CKM. Wartość  $V_{ud}$  otrzymywana jest ze wzoru:

$$V_{ud}^2 = \frac{K}{G_F^2 ft |M_F|^2},$$

gdzie  $K$  jest stałą liczbową:  $K = \frac{2\pi^3 \hbar^7 \ln 2}{m_e^5 c^4}$ ,  $G_F$  stałą sprzężenia wektorowego a  $|M_F|$  jest elementem macierzowym Fermiego. Gdyby symetria izospinowa była zachowana, to dla rozpatrywanych stanów o  $T = 1$  element Fermiego miałby wartość:  $|M_F| = |M_0| = \sqrt{2}$ . Jednakże, z powodu łamania wspomnianej symetrii w jądrze atomowym, musimy wyznaczyć poprawkę do  $|M_F|$ :

$$|M_F|^2 = |M_0|^2(1 - \delta_C).$$

## Możliwości testowania unitarności macierzy CKM poprzez superdozwolony rozpad $\beta$

Dzięki procedurze przywracania symetrii izobarycznej możemy podjąć się wyznaczenia elementu  $V_{ud}$ . Brakujący element macierzy Fermiego zdefiniowany jest następująco:

$$|M_F| = \langle T_z + 1 | \hat{T}_+ | T_z \rangle.$$

Dzięki możliwości rzutowania na określony izospin, jesteśmy w stanie wyznaczyć  $|M_F|$ :

$$\begin{aligned} |T_z + 1\rangle &= \sum_{T' \geq |T_z + 1|} a_{T'} |\alpha, T', T_z + 1\rangle \\ |T_z\rangle &= \sum_{T'' \geq |T_z|} \tilde{a}_{T''} |\beta, T'', T_z\rangle \end{aligned}$$

skąd otrzymamy:

$$|M_F| = \sum_{T'T''} a_{T'}^* \tilde{a}_{T''} \langle \alpha, T', T_z + 1 | \hat{T}_+ | \beta, T'', T_z \rangle$$

## Łamanie symetrii izobarycznej

Poznanie mechanizmów łamania symetrii izobarycznej jest niezwykle istotne dla fizyki jądrowej. Między innymi jest niezbędne do zrozumienia superdozwolonego rozpadu  $\beta$ .

Istnieją dwa źródła łamania symetrii izobarycznej:

- *niefizyczne*, związane z procedurą HF
- *fizyczne*, pochodzące głównie od oddziaływania kulombowskiego (oraz, w mniejszym zakresie, od zależności sił silnych od izospinu)

Stan Hartree-Focka ze złamaną symetrią izobaryczną ma postać:

$$|\text{HF}\rangle = \sum_{T \geq |T_z|} a_T |\alpha, T, T_z\rangle$$

## Procedura rzutowania na stany o określonym izospinie

$$|\text{HF}\rangle = \sum_{T \geq |T_z|} a_T |\alpha, T, T_z\rangle$$

Operator rzutowy w reprezentacji spektralnej ma postać:

$$\hat{P}_{T_z T_z}^T = \sum_{\alpha} |\alpha, T, T_z\rangle \langle \alpha, T, T_z|$$

Ten sam operator wyrażony przy pomocy operatora obrotu w izoprzestrzeni:

$$\hat{P}_{T_z T_z}^T = \frac{2T + 1}{2} \int_0^\pi d\beta \sin \beta d_{T_z T_z}^{T*}(\beta) \hat{R}(\beta)$$

Możemy znaleźć energie stanów wyrzutowanych:

$$E^T = \frac{\langle \text{HF} | \hat{P}_{T_z T_z}^{T\dagger} \hat{H} \hat{P}_{T_z T_z}^T | \text{HF} \rangle}{\langle \text{HF} | \hat{P}_{T_z T_z}^{T\dagger} \hat{P}_{T_z T_z}^T | \text{HF} \rangle}$$

## Procedura rzutowania na stany o określonym izospinie

Hamiltonian składa się z dwóch części:

$$\hat{H} = \hat{H}_{Skyrme} + \hat{H}_{Coul.}$$

Izospinowo niezmienniczej

Łamiącej izospin

$$E_{Skyrme}^T = \frac{\langle \text{HF} | \hat{H}_{Skyrme} \hat{P}_{T_z T_z}^T | \text{HF} \rangle}{\langle \text{HF} | \hat{P}_{T_z T_z}^T | \text{HF} \rangle}$$

Jeśli zdefiniujemy stan HF obrócony w izoprzestrzeni:

$$|\widetilde{\text{HF}}(\beta)\rangle = \hat{R}(\beta)|\text{HF}\rangle$$

otrzymamy energię Skyrma stanu wyrzutowanego postaci:

$$E_{Skyrme}^T = \frac{\int_0^\pi d\beta \sin \beta d_{T_z T_z}^{T*}(\beta) \langle \text{HF} | \hat{H}_{Skyrme} | \widetilde{\text{HF}}(\beta) \rangle}{\int_0^\pi d\beta \sin \beta d_{T_z T_z}^{T*}(\beta) \langle \text{HF} | \widetilde{\text{HF}}(\beta) \rangle}$$



## Procedura rzutowania na stany o określonym izospinie

$$\hat{H} = \hat{H}_{Skymme} + \hat{H}_{Coul.}$$

Izospinowo niezmiennicza

Łamiąca izospin

Oddziaływanie kulombowskie składa się z trzech części:

$$\hat{H}_{Coul.} = \hat{H}_{Coul.}^{IS} + \hat{H}_{Coul.}^{IV} + \hat{H}_{Coul.}^{IT}$$

izoskalarnej

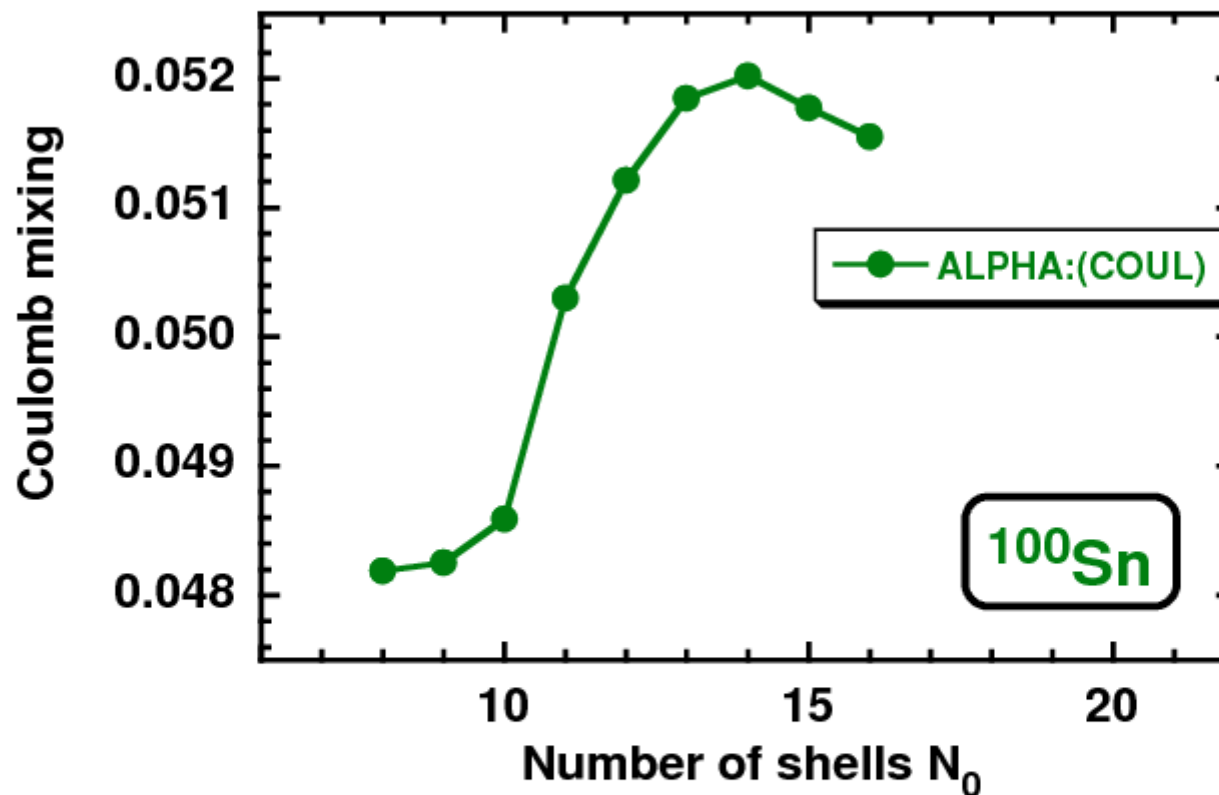
isowektorowej

izotensorowej

Dwa ostatnie człony mieszają stany o różnym izospinie, powodując powstawanie pozadiagonalnych elementów macierzowych hamiltonianu. W związku z tym, aby otrzymać stany własne, musimy przeprowadzić

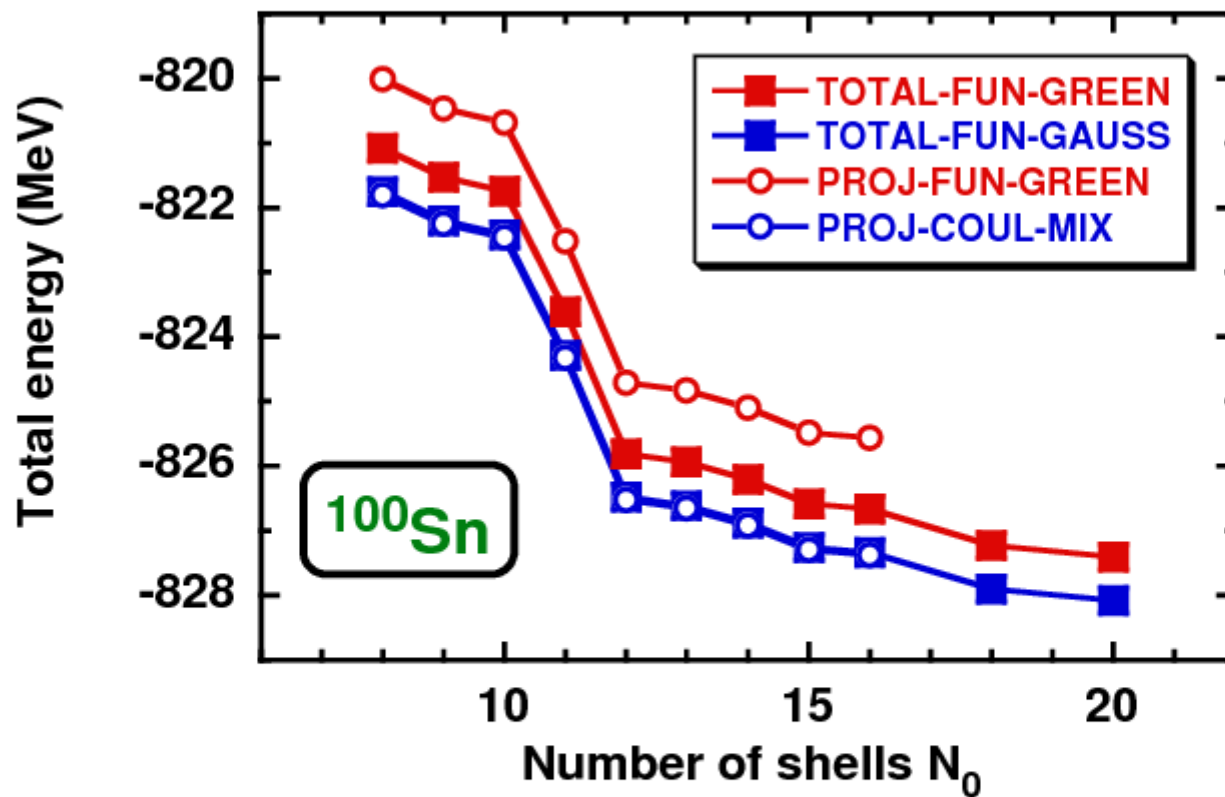
**Rediagonalizację !!!**

## Zależność wyników od rozmiaru bazy



Wybór między precyzją a oszczędnością czasu procesora:  
przyjęcie  $N_0=12$  wydaje się być dobrym rozwiązaniem

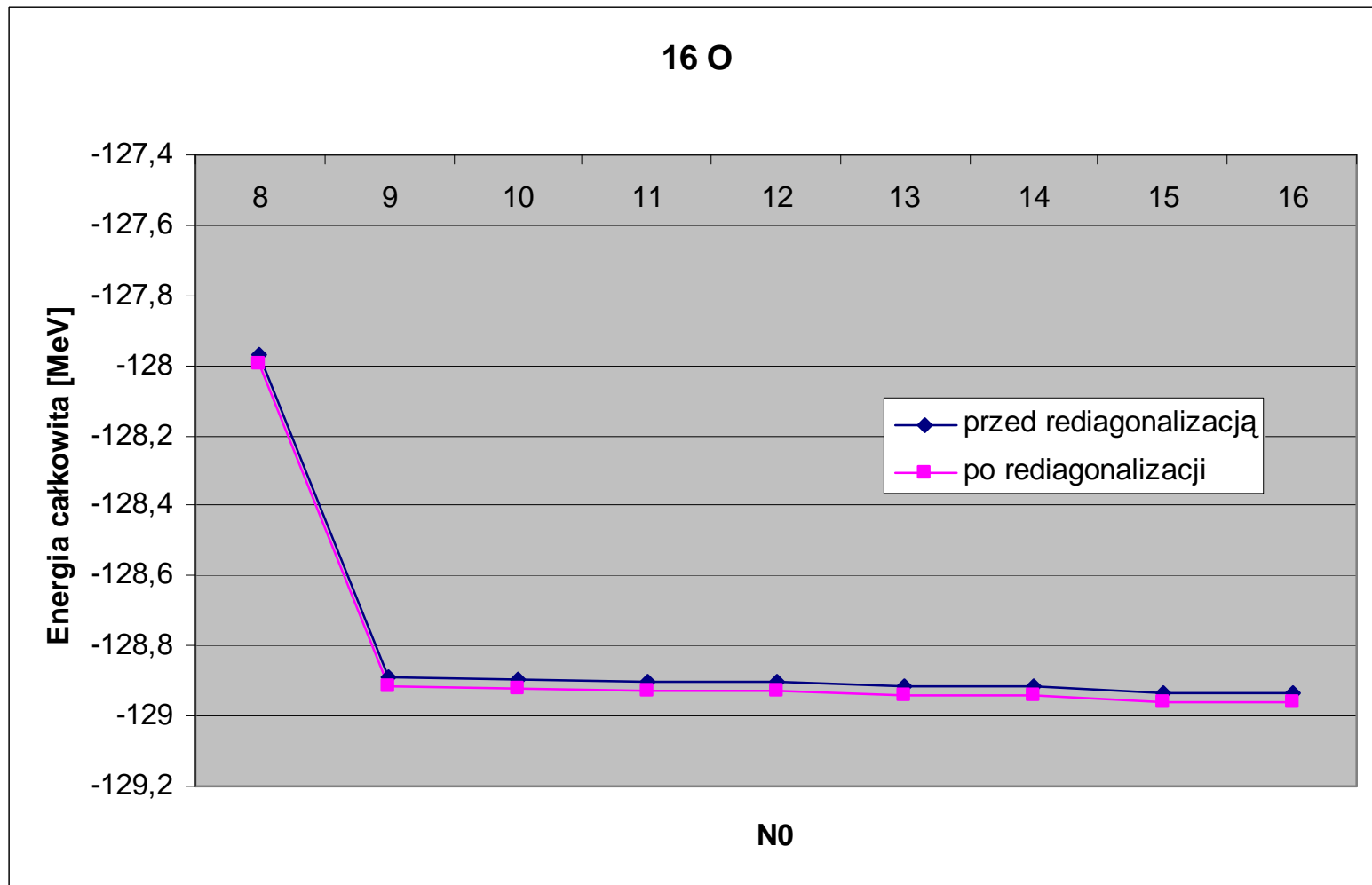
## Zależność wyników od rozmiaru bazy



Dla  $N_0 > 12$  zmiany energii są stosunkowo małe.

# Zależność wyników od rozmiaru bazy

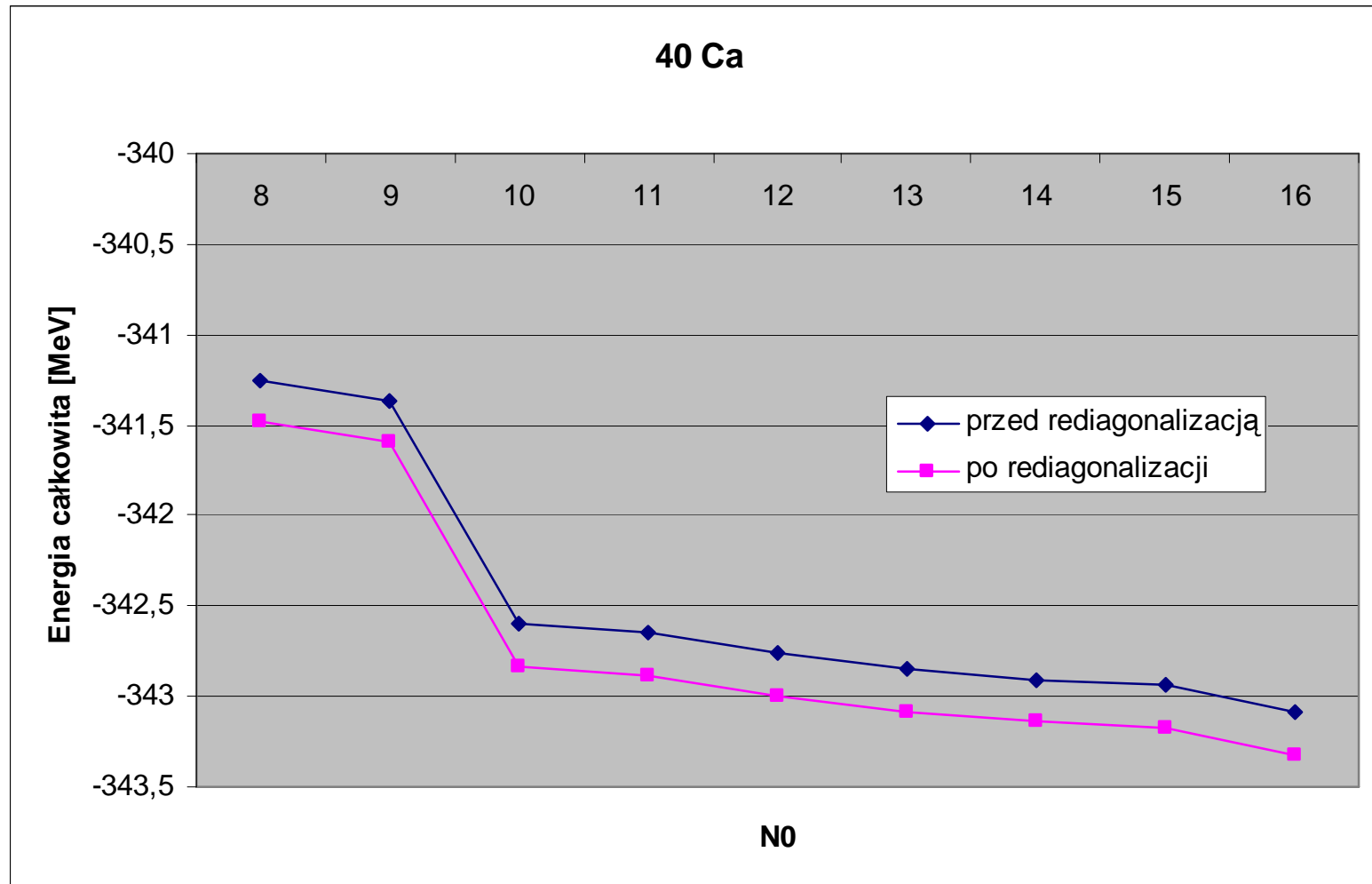
## Parametryzacja SII siły Skyrma



Odpowiednia liczba powłok:  $N_0=9$

# Zależność wyników od rozmiaru bazy

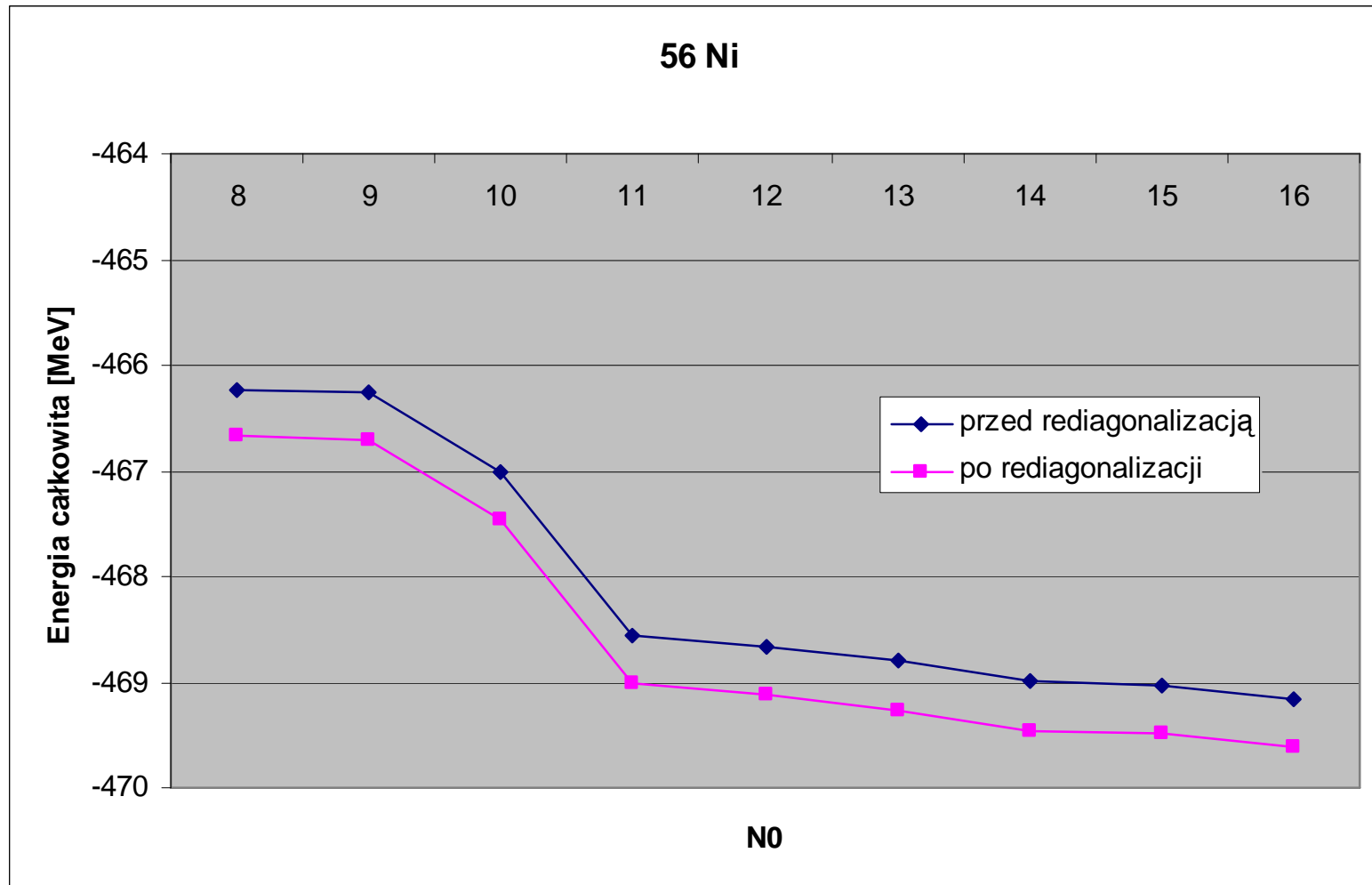
## Parametryzacja SII siły Skyrma



Odpowiednia liczba powłok:  $N_0 = 10$

# Zależność wyników od rozmiaru bazy

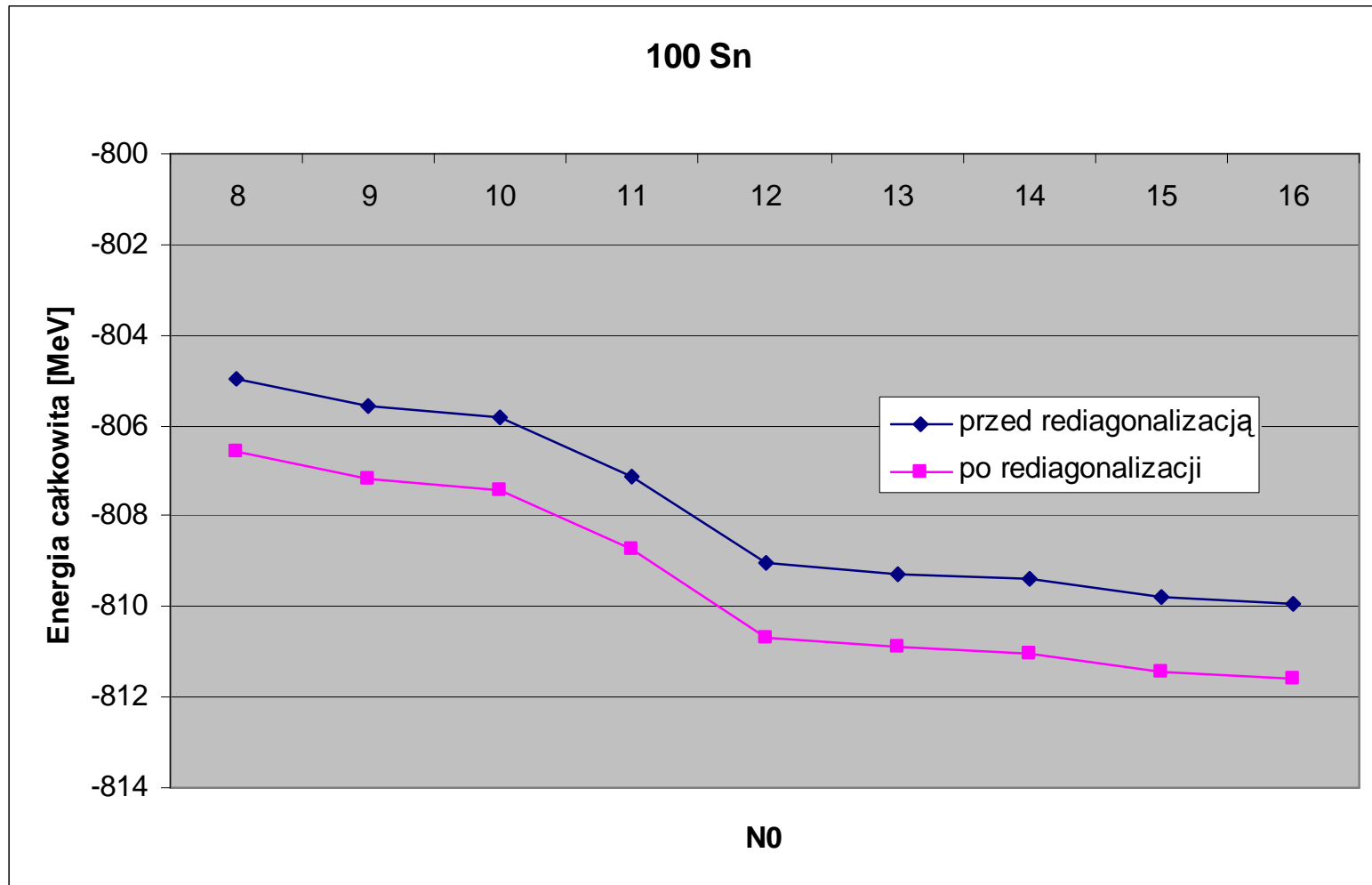
## Parametryzacja SII siły Skyrma



Odpowiednia liczba powłok:  $N_0 = 11$

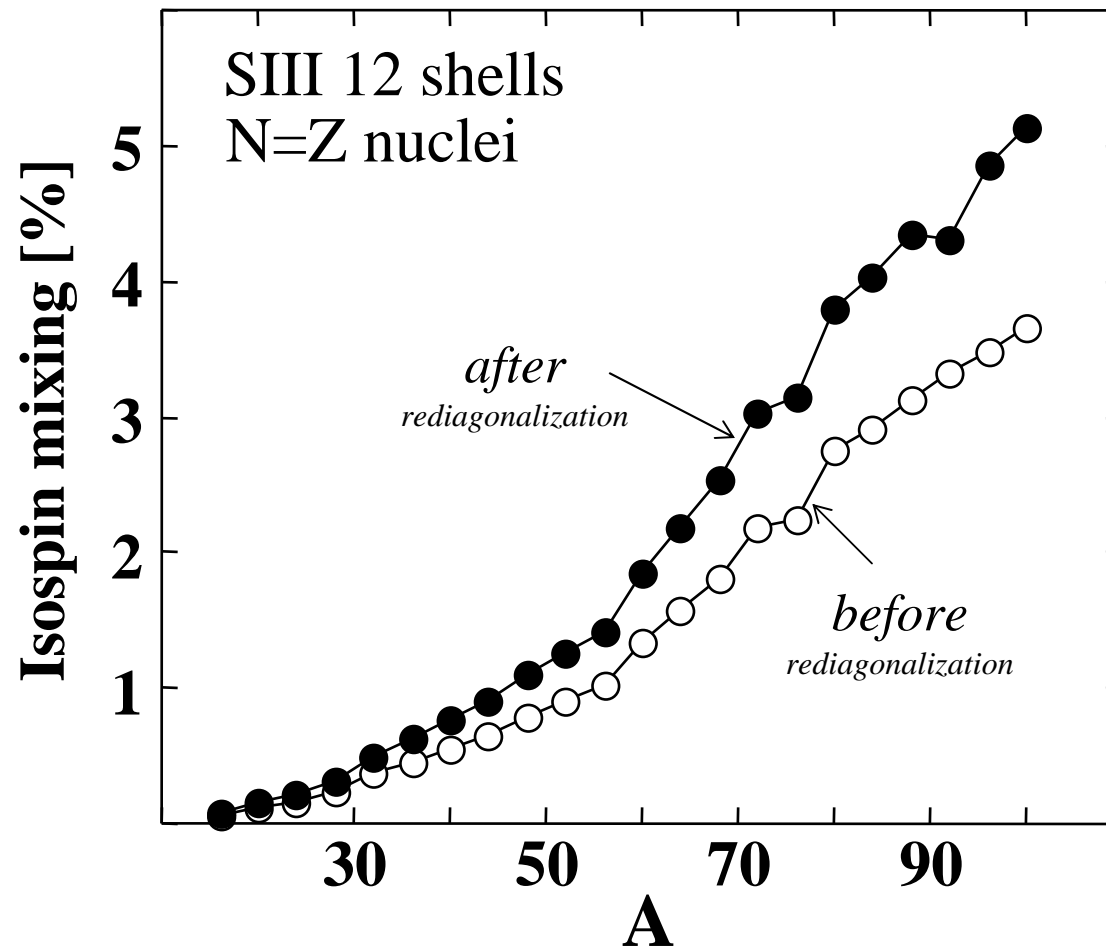
# Zależność wyników od rozmiaru bazy

## Parametryzacja SII siły Skyrma



Odpowiednia liczba powłok:  $N_0=12$

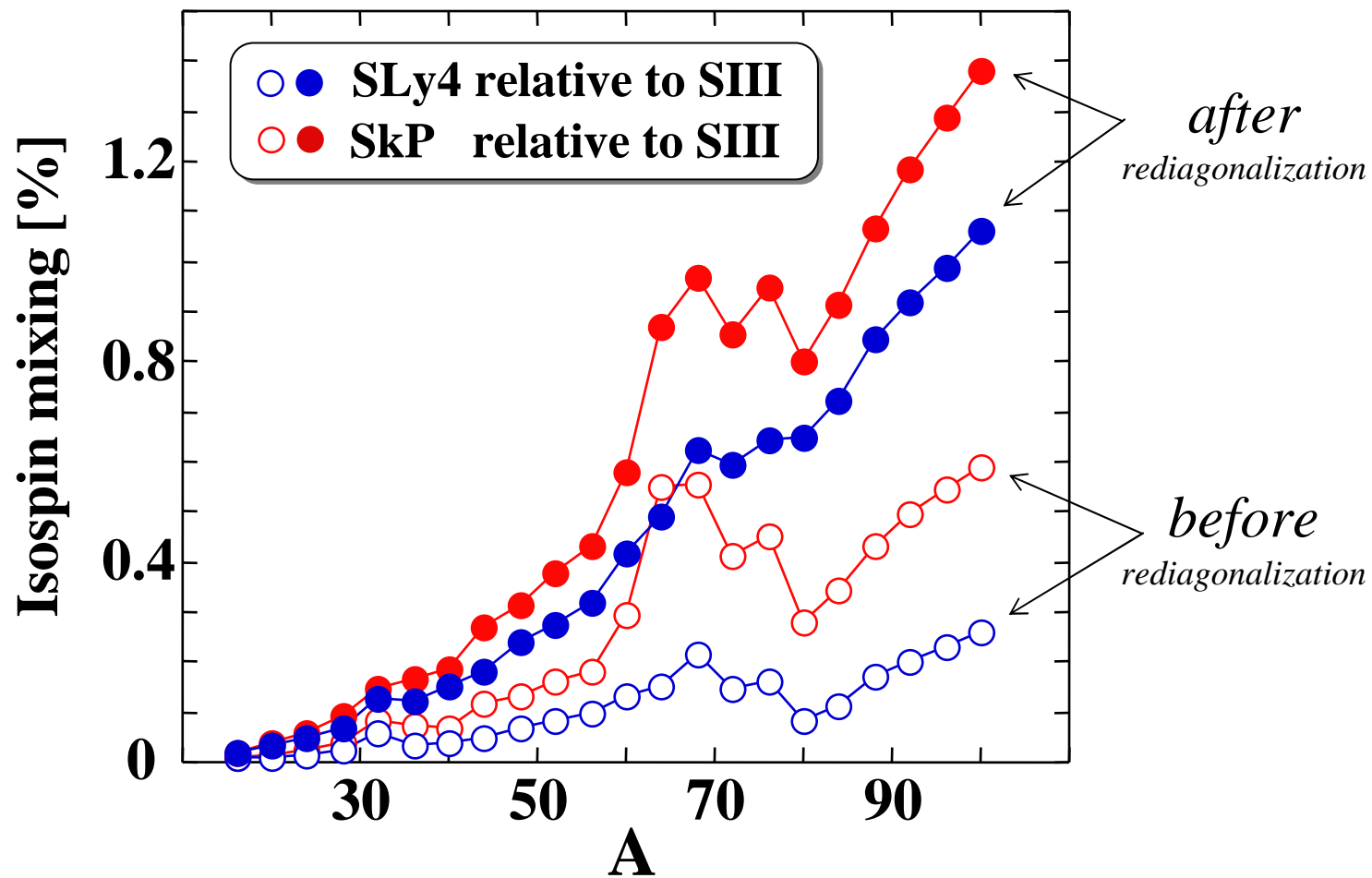
## Zmieszanie izospinowe wzdłuż linii $N=Z$



Zmieszanie izospinowe rośnie z  $A$ ,  
od  $\sim 0\%$  dla lekkich jąder do  $\sim 5\%$  dla  $A=100$ .



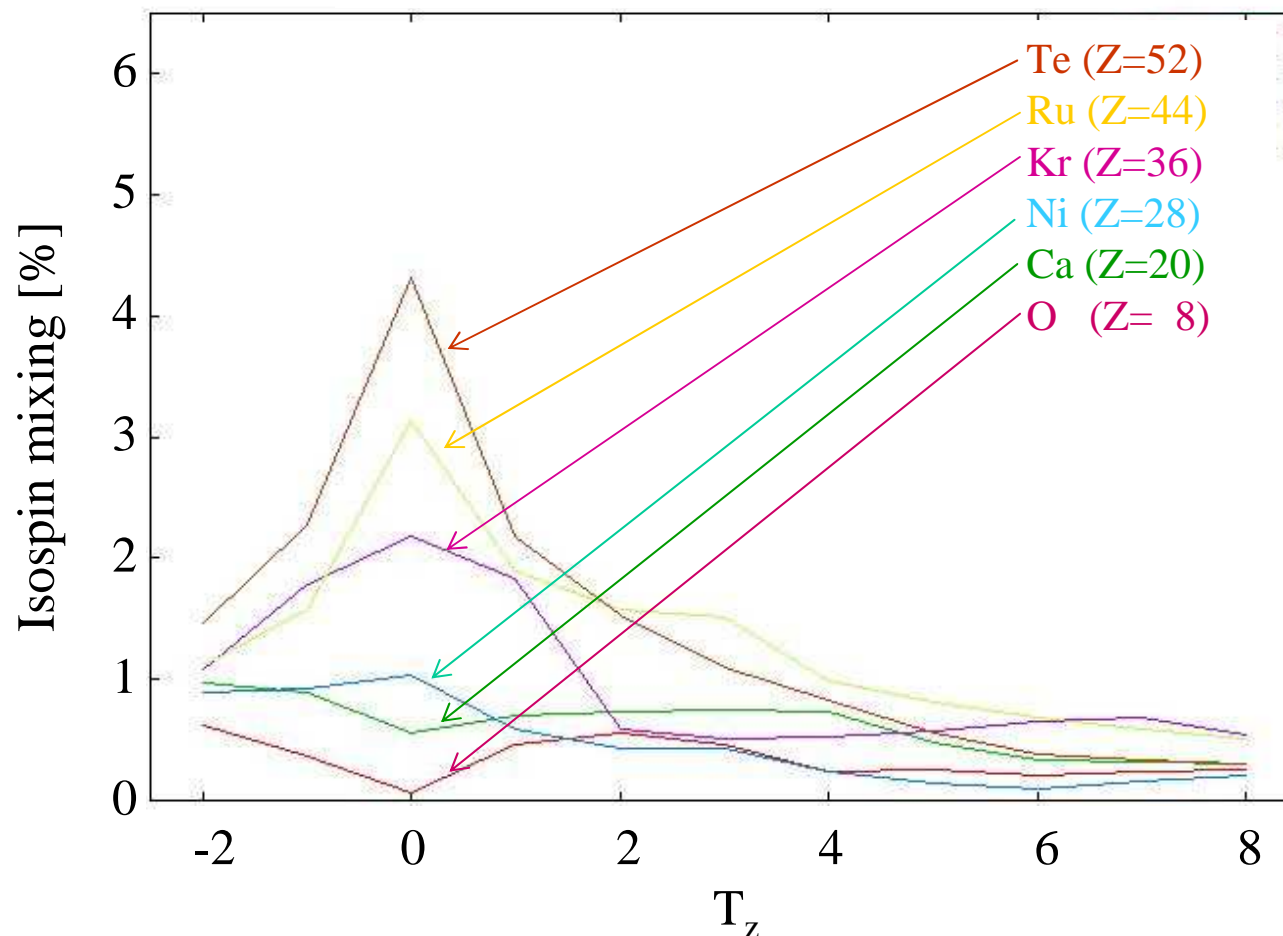
## Zmieszanie izospinowe wzdłuż linii $N=Z$



Wyniki bardzo silnie zależą od wybranej parametryzacji siły Skyrma.

## Zmieszanie izospinowe w funkcji $T_z$

*przed rediagonalizacją,  $Z=const.$*

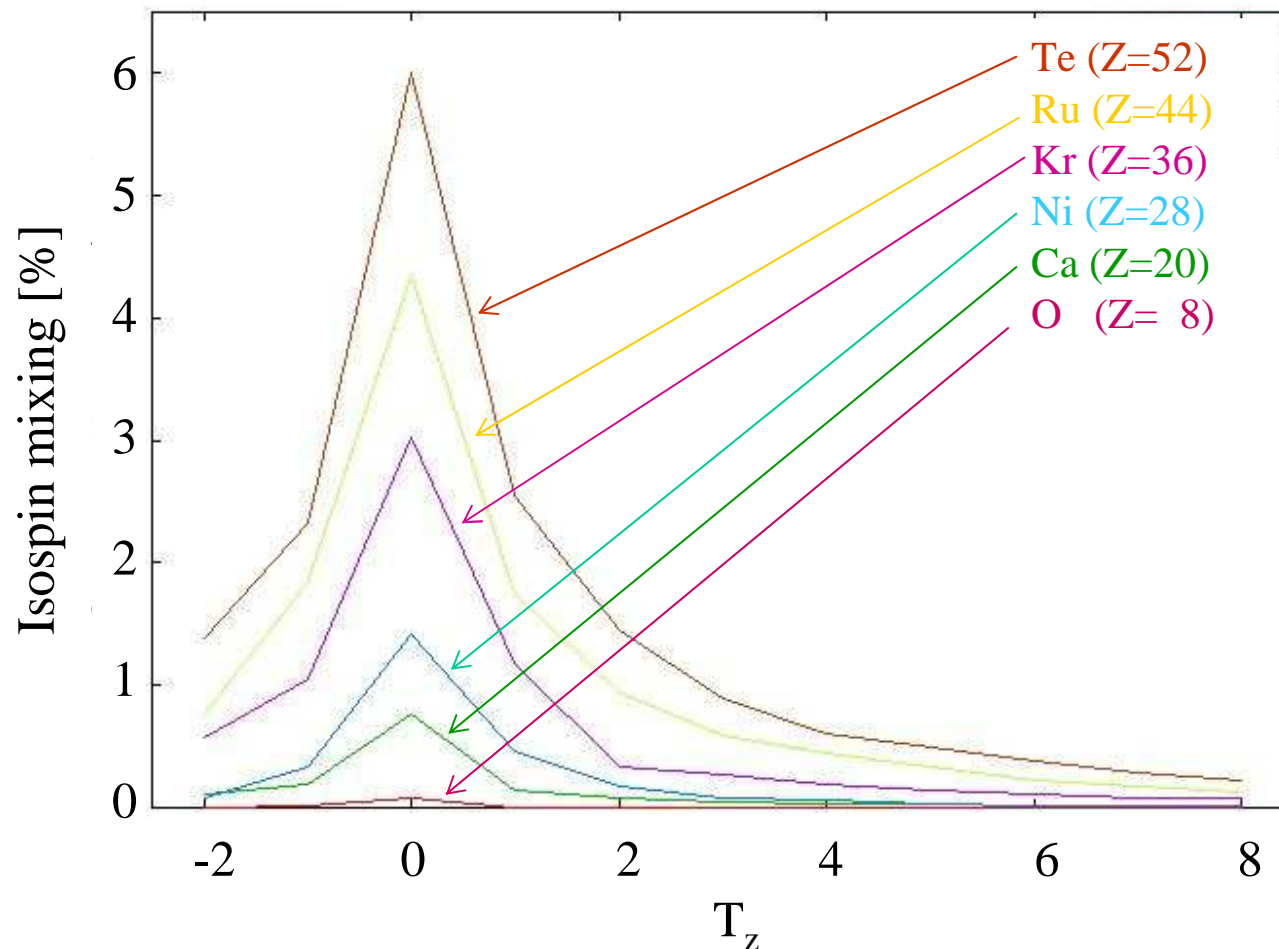


Niejasna sytuacja, potrzebna jest rediagonalizacja

Przed rediagonalizacją w lekkich jądrach mieszanie jest mniejsze dla  $T_z=0$  niż dla jąder sąsiednich ( $T_z \neq 0$ ). W jądrach cięższych sytuacja jest odwrotna.

## Zmieszanie izospinowe w funkcji $T_z$

*po rediagonalizacji,  $Z=const.$*

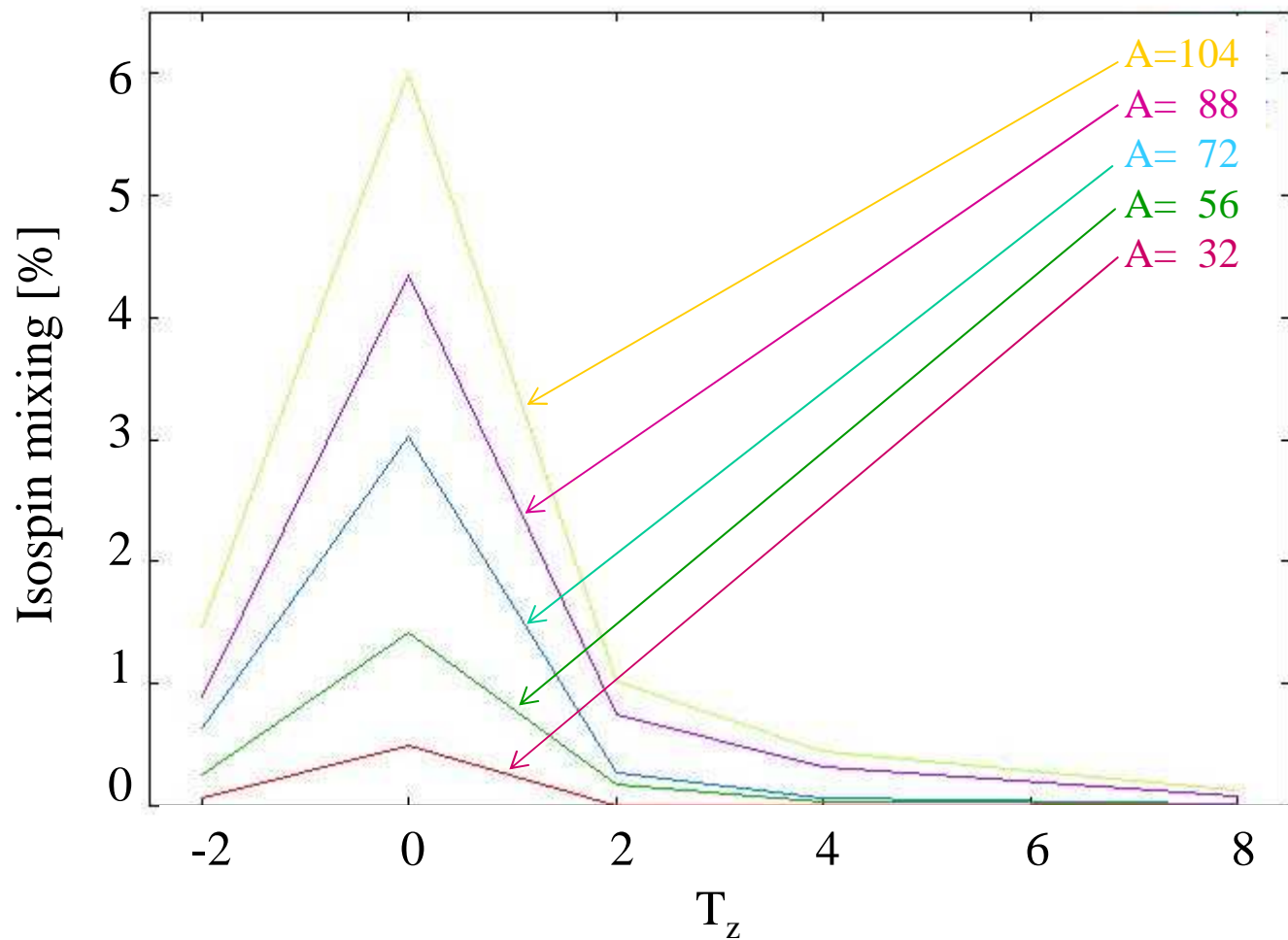


Obserwujemy zanikanie mieszania izospinowego wraz ze wzrostem  $|T_z|$ ,

Mieszanie jest mniejsze w lekkich jądrach niż w cięższych.

# Zmieszanie izospinowe w funkcji $T_z$

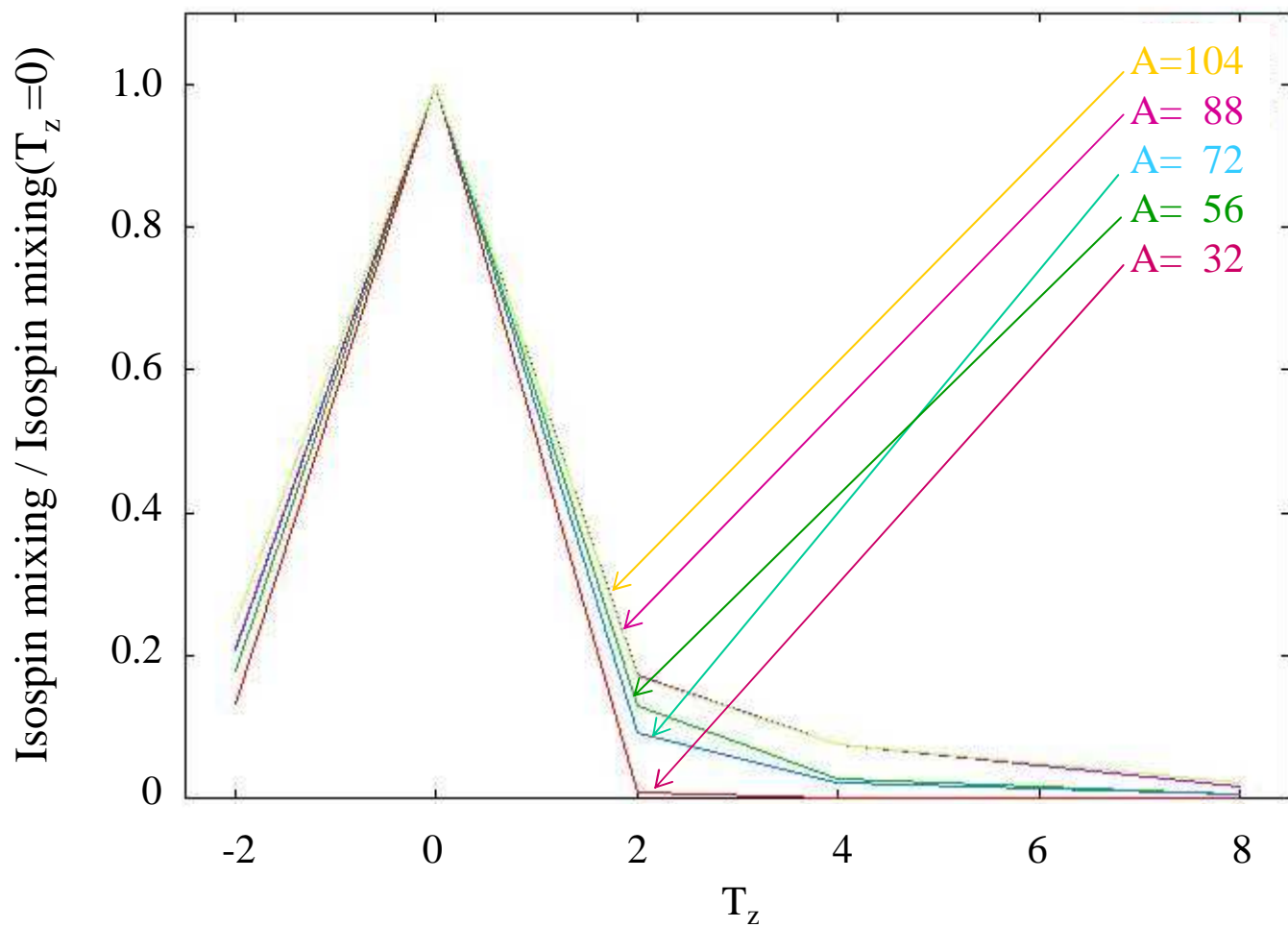
*po rediagonalizacji,  $A = \text{const}$*



Widzimy analogiczną zależność, co dla łańcuchów  $Z = \text{const}$ .

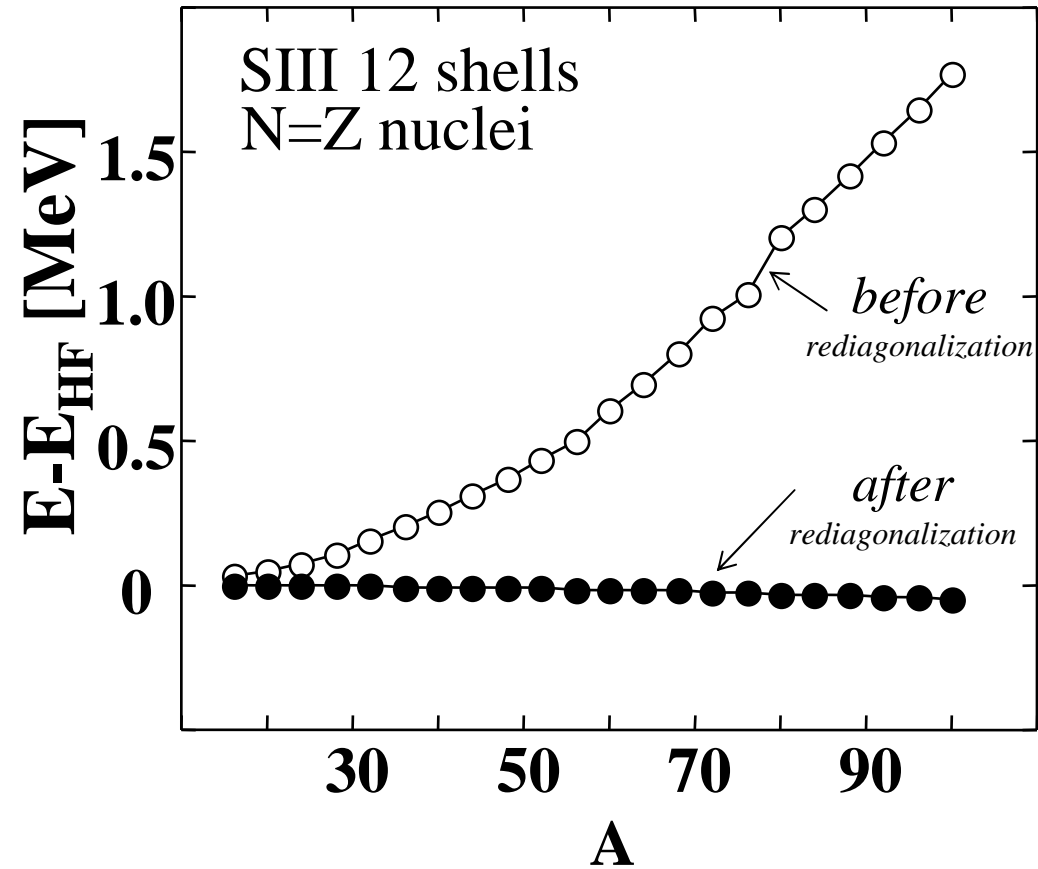
## Zmieszanie izospinowe w funkcji $T_z$

*Znormalizowane mieszanie izospinowe,  $A = \text{const}$*



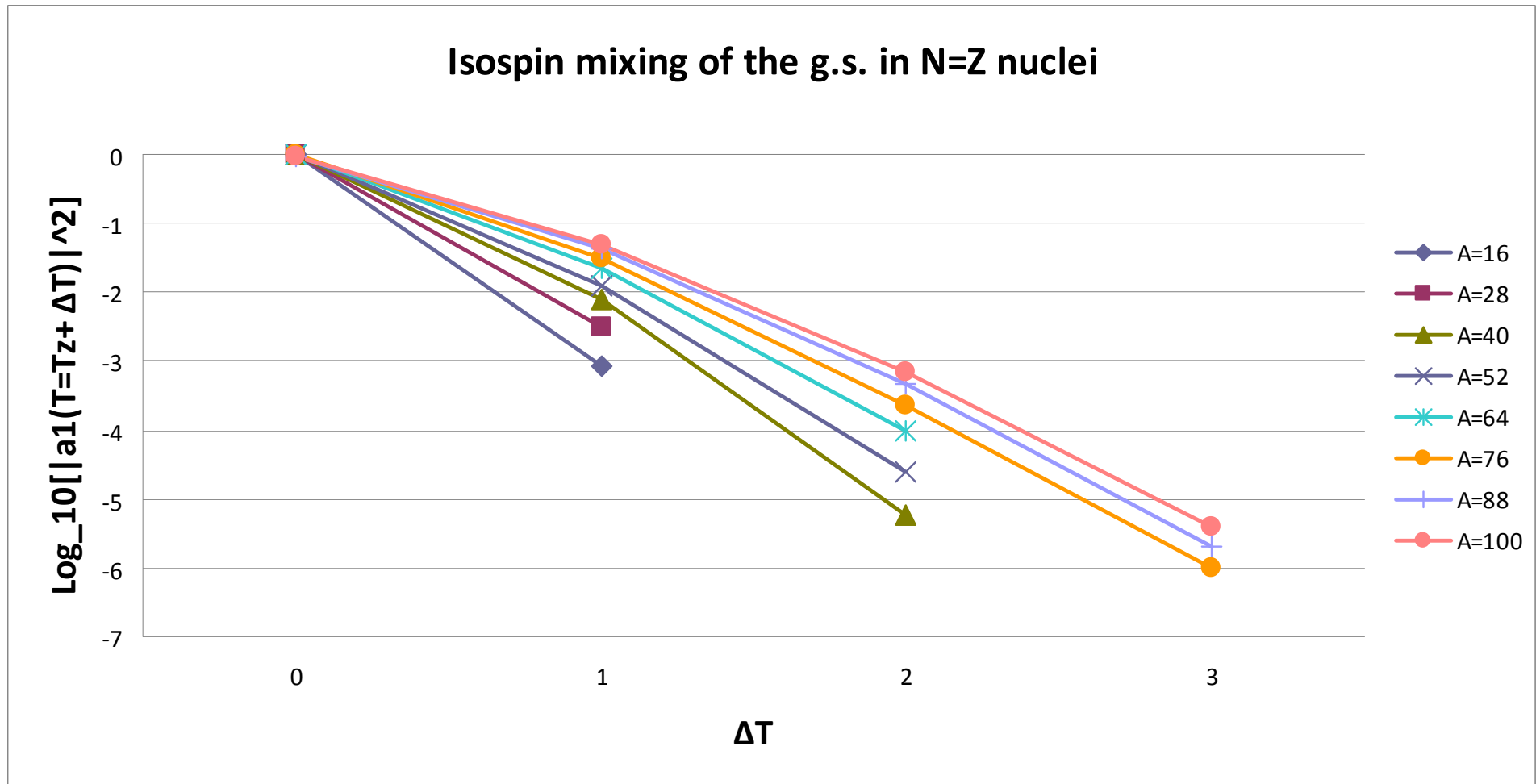
Zanikanie mieszania izospinowego w funkcji  $T_z$  jest podobne dla różnych mas

## Wpływ rzutowania na izospin na energię



Energia uzyskana w procedurze Hartree-Focka jest bardzo dobra:  
jest tylko o  $\sim 30$  keV powyżej energii uzyskanej po rediagonalizacji

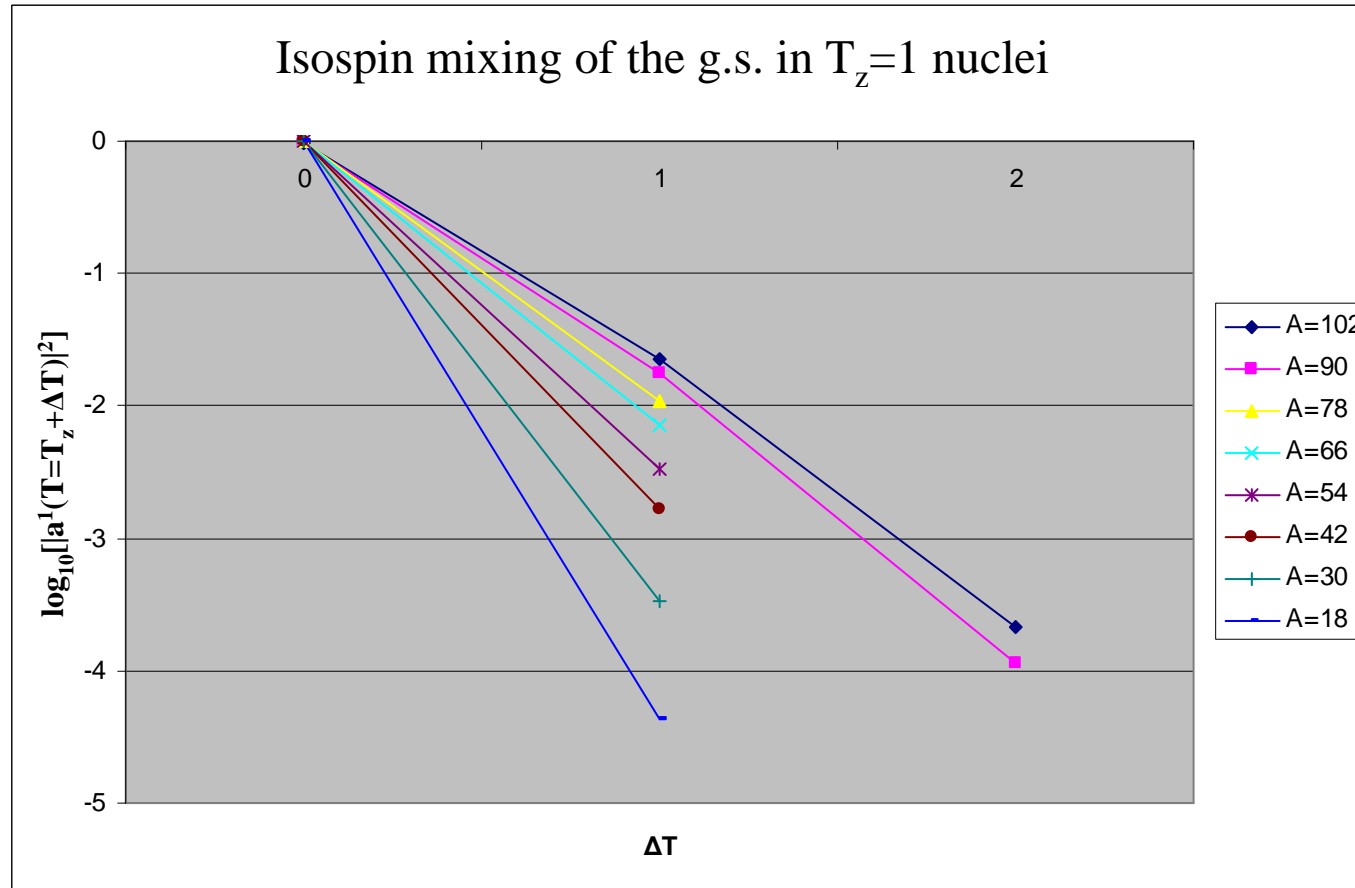
# Struktura izospinowa stanu podstawowego w jądrach o $N=Z$



Normy kolejnych składowych w stanie podstawowym zmniejszają się co ok. dwa rzędy wielkości

Mieszanie szybciej zanika w lekkich jądrach niż w ciężkich

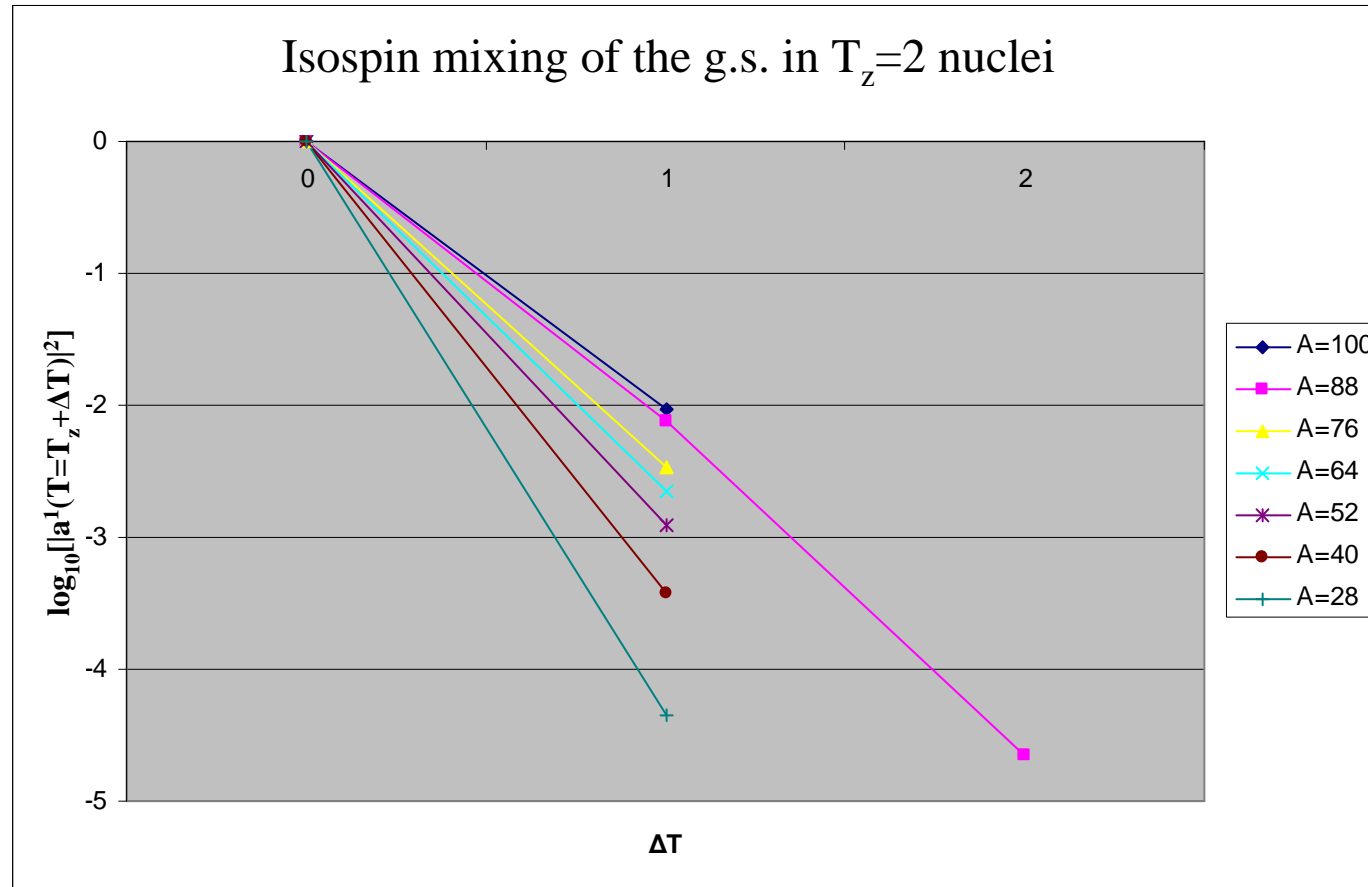
# Struktura izospinowa stanu podstawowego w jądrach o $N > Z$



Widzimy wyraźny spadek mieszania z A

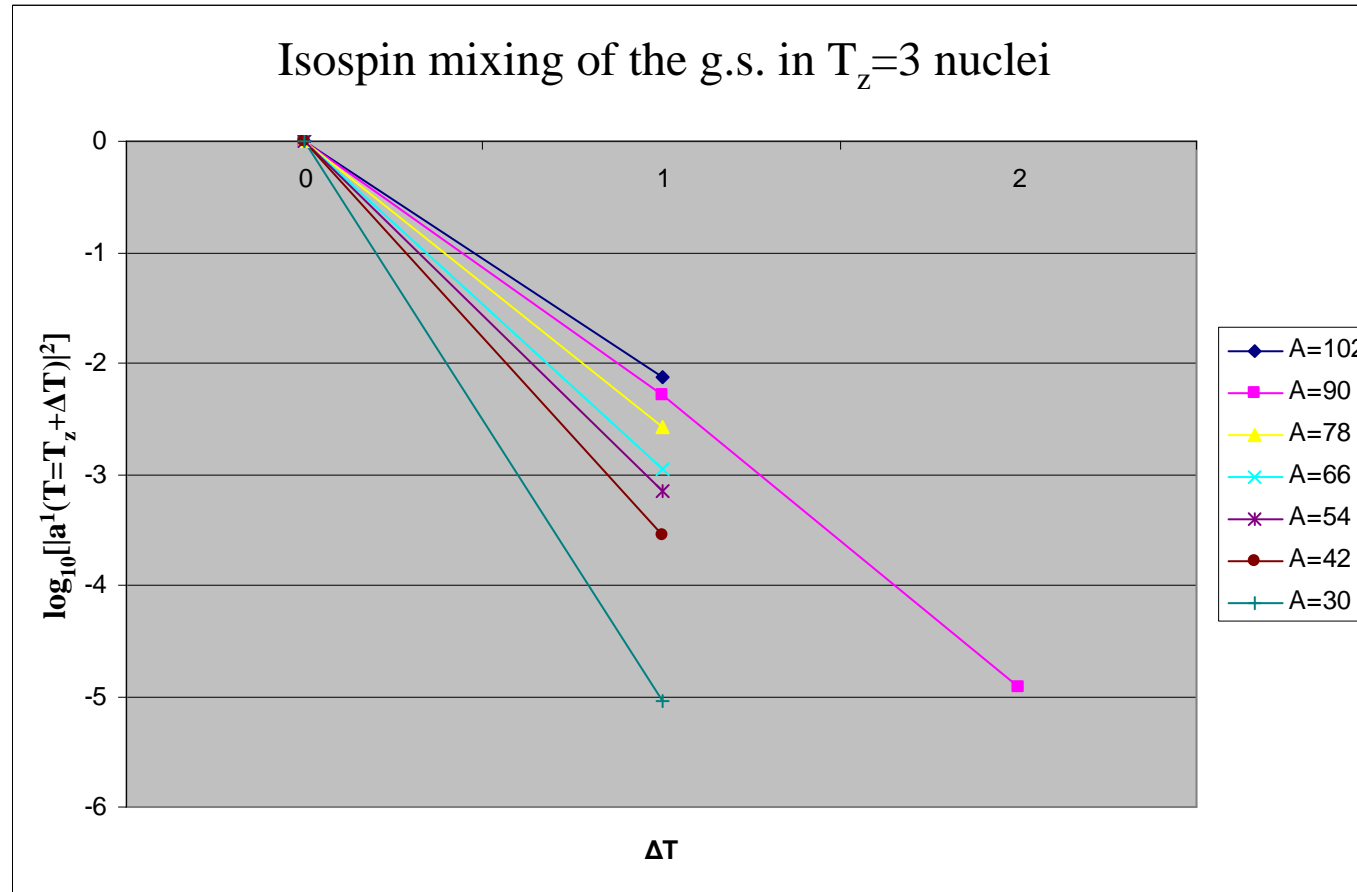


# Struktura izospinowa stanu podstawowego w jądrach o $N > Z$



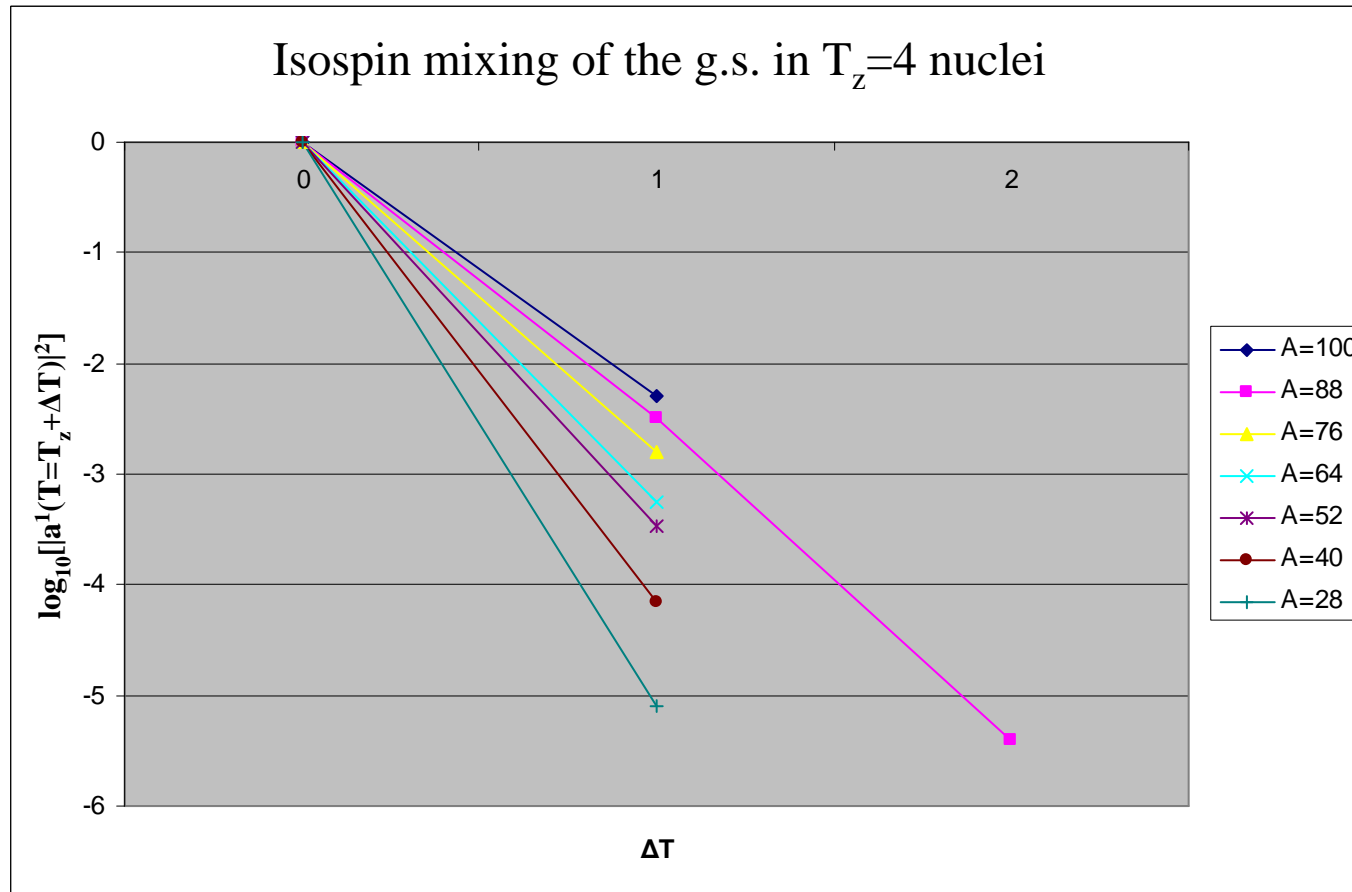
Widzimy wyraźny spadek mieszania z A

# Struktura izospinowa stanu podstawowego w jądrach o $N > Z$



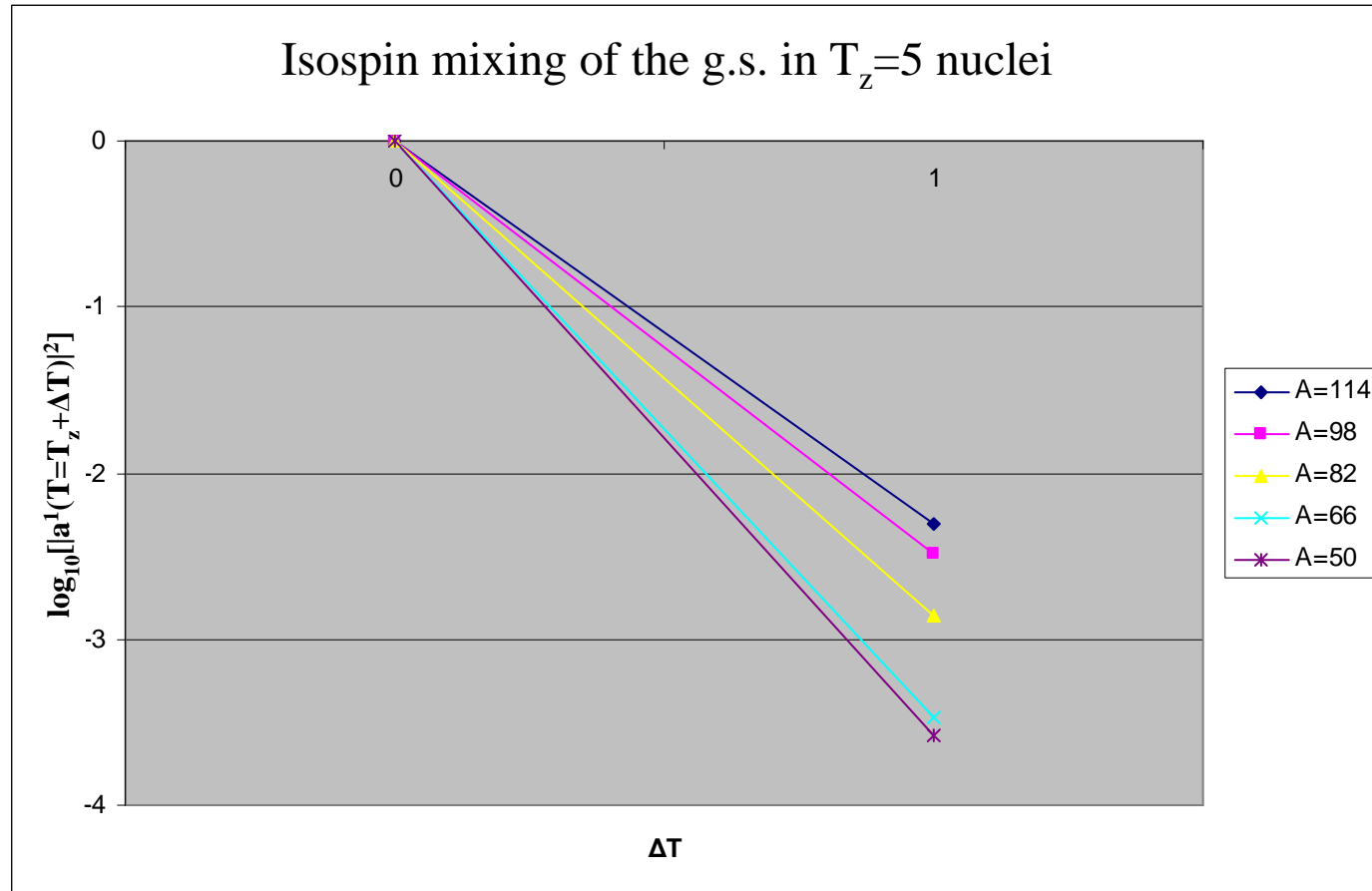
Widzimy wyraźny spadek mieszania z A

# Struktura izospinowa stanu podstawowego w jądrach o $N > Z$



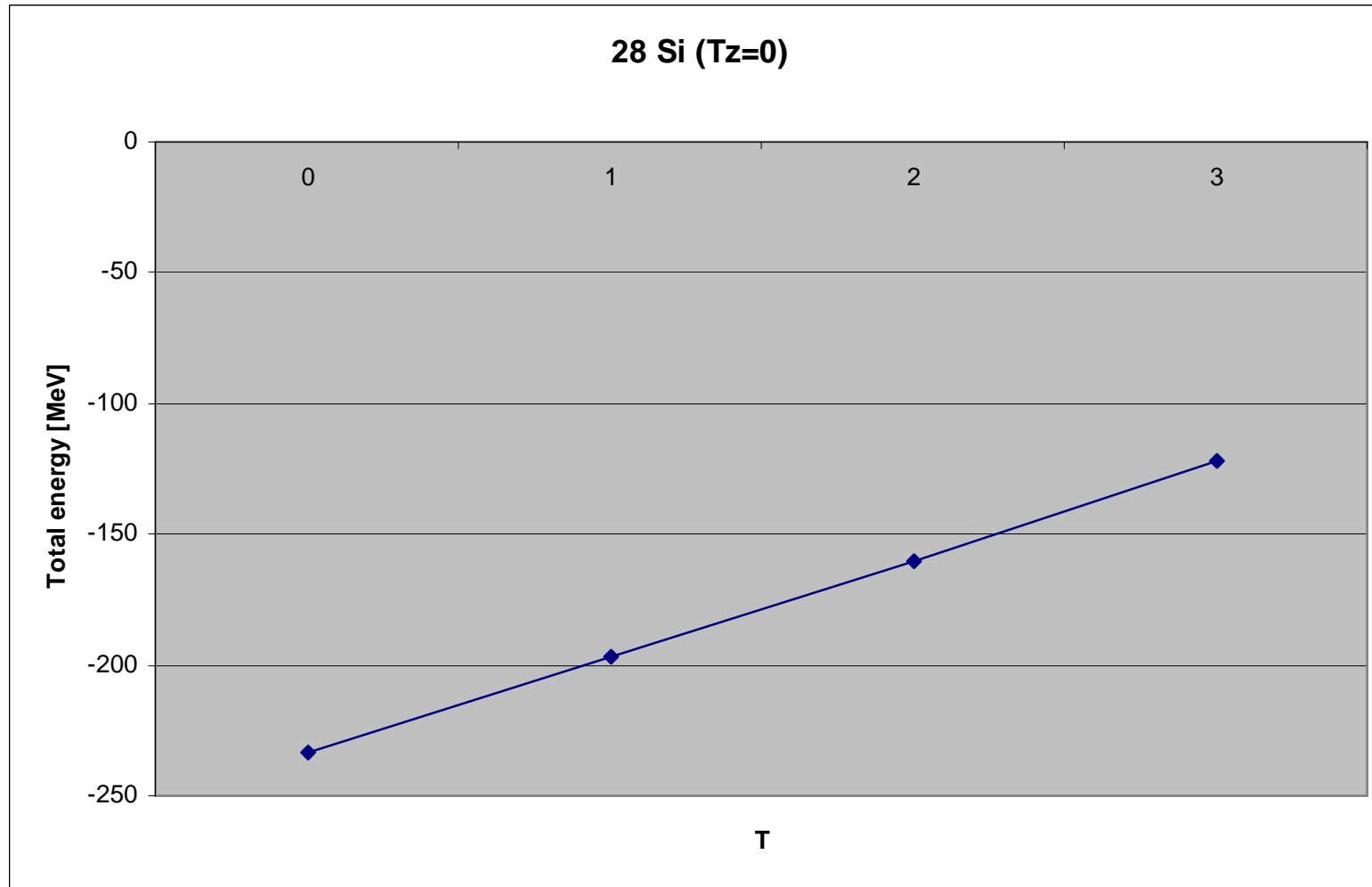
Widzimy wyraźny spadek mieszania z A

# Struktura izospinowa stanu podstawowego w jądrach o $N > Z$



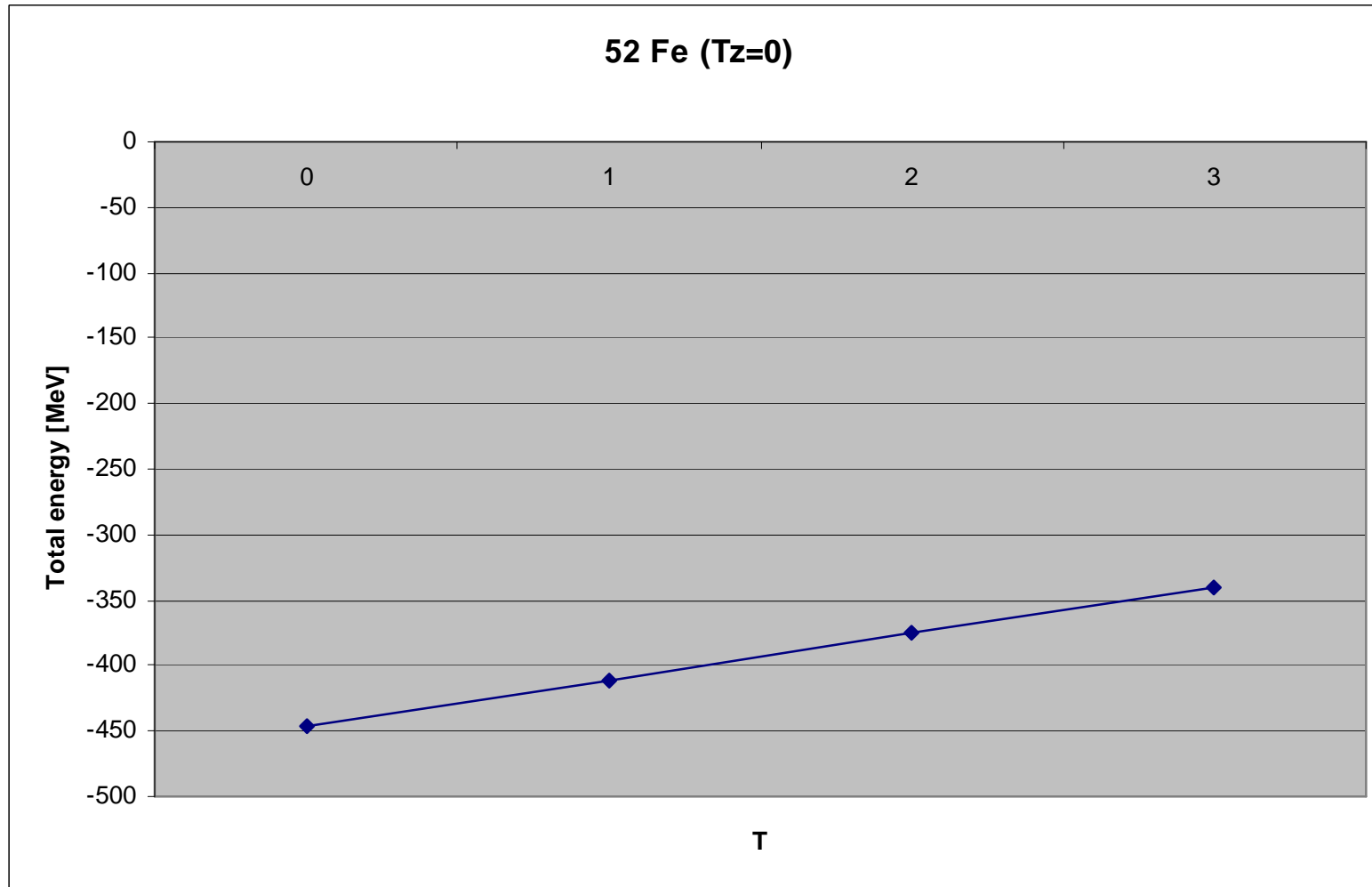
Widzimy wyraźny spadek mieszania z  $A$

## Zależność energii stanów bazy od izospinu w jądrach o $T_z=0$



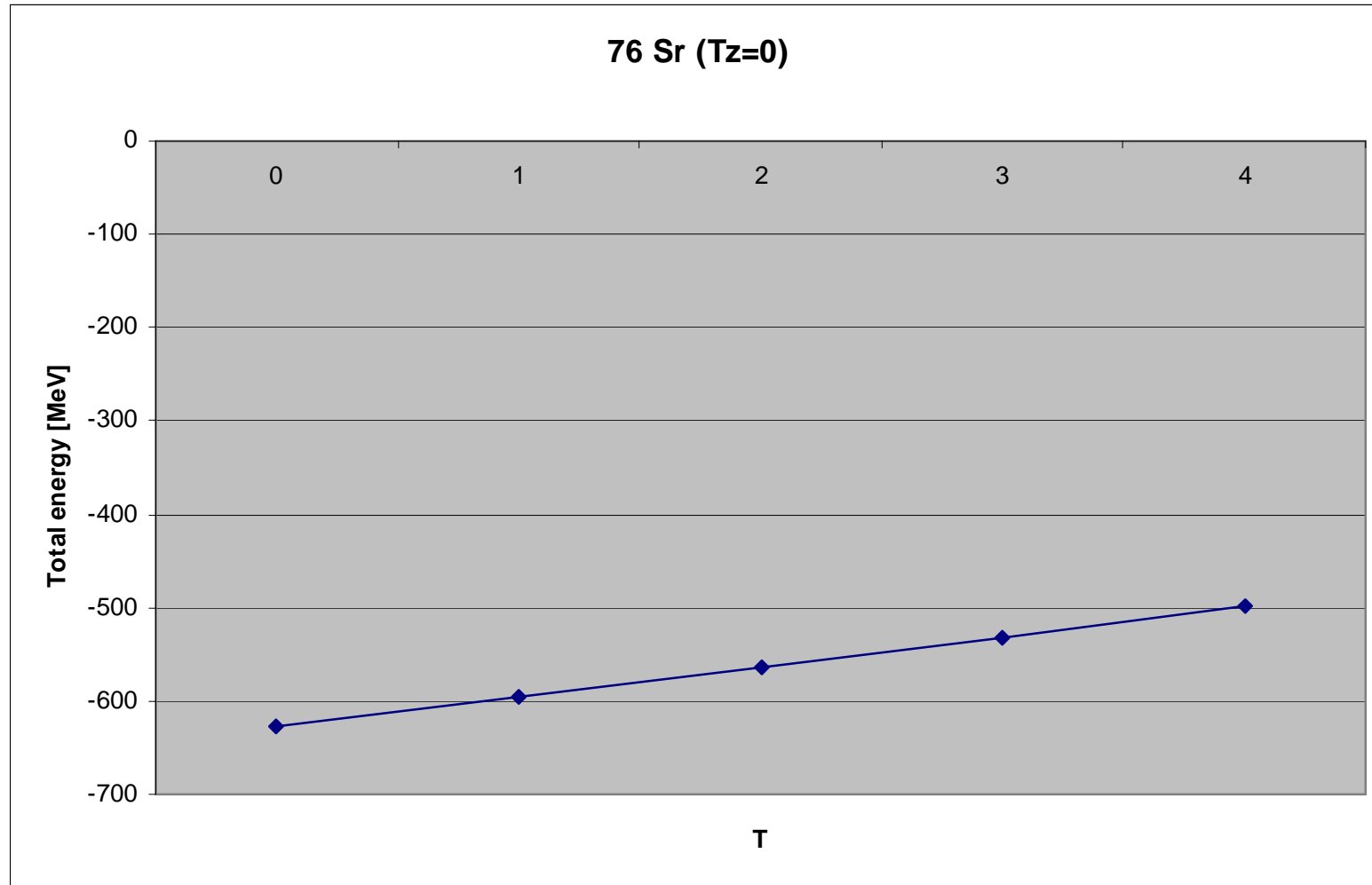
Wbrew oczekiwaniom, energie kolejnych stanów  
rosną liniowo w T, a nie  $\sim T(T+1)$

## Zależność energii stanów bazy od izospinu w jądrach o $T_z=0$



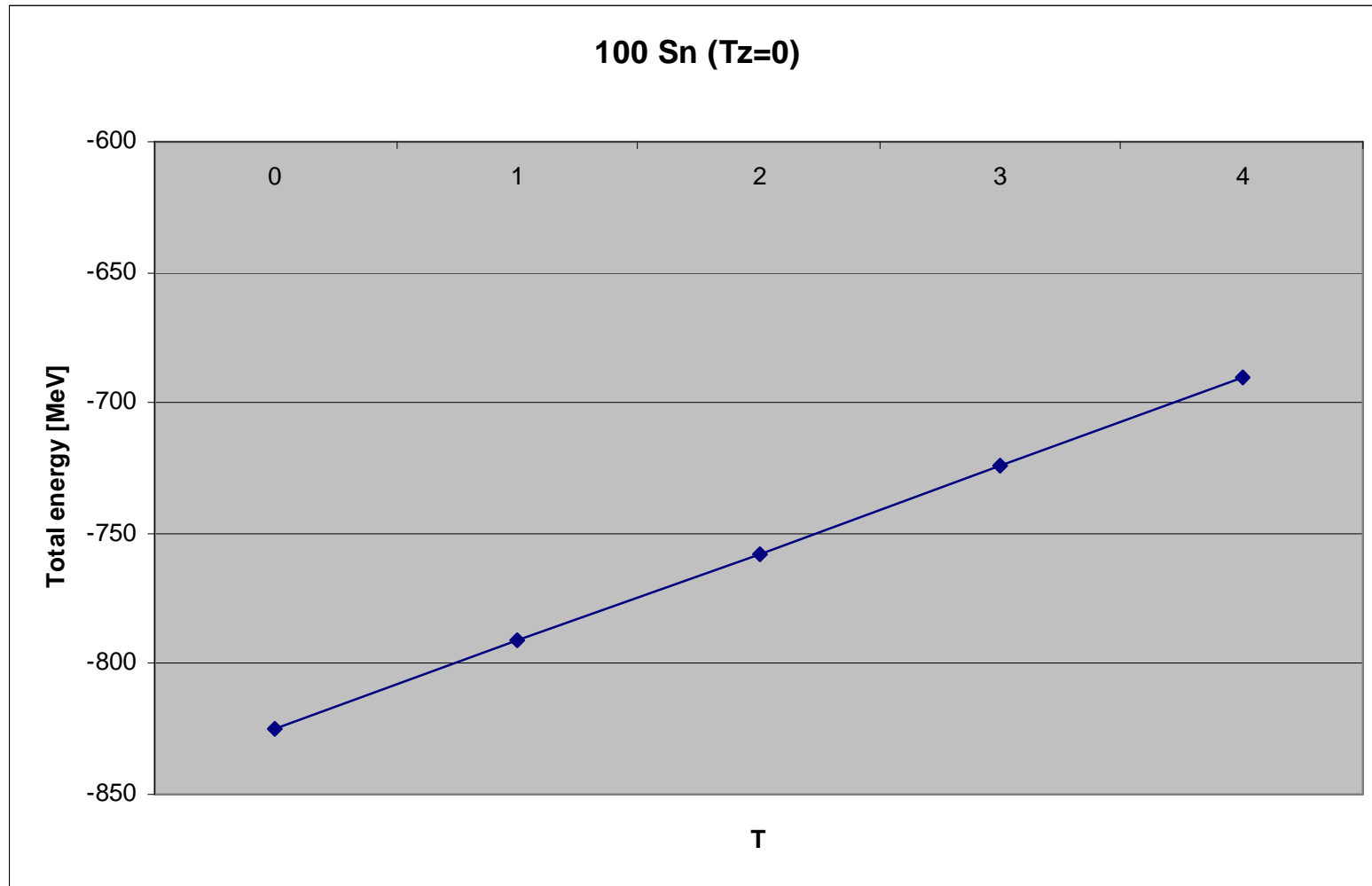
Wbrew oczekiwaniom, energie kolejnych stanów  
rosną liniowo w  $T$ , a nie  $\sim T(T+1)$

# Zależność energii stanów bazy od izospinu w jądrach o $T_z=0$



Wbrew oczekiwaniom, energie kolejnych stanów  
rosną liniowo w  $T$ , a nie  $\sim T(T+1)$

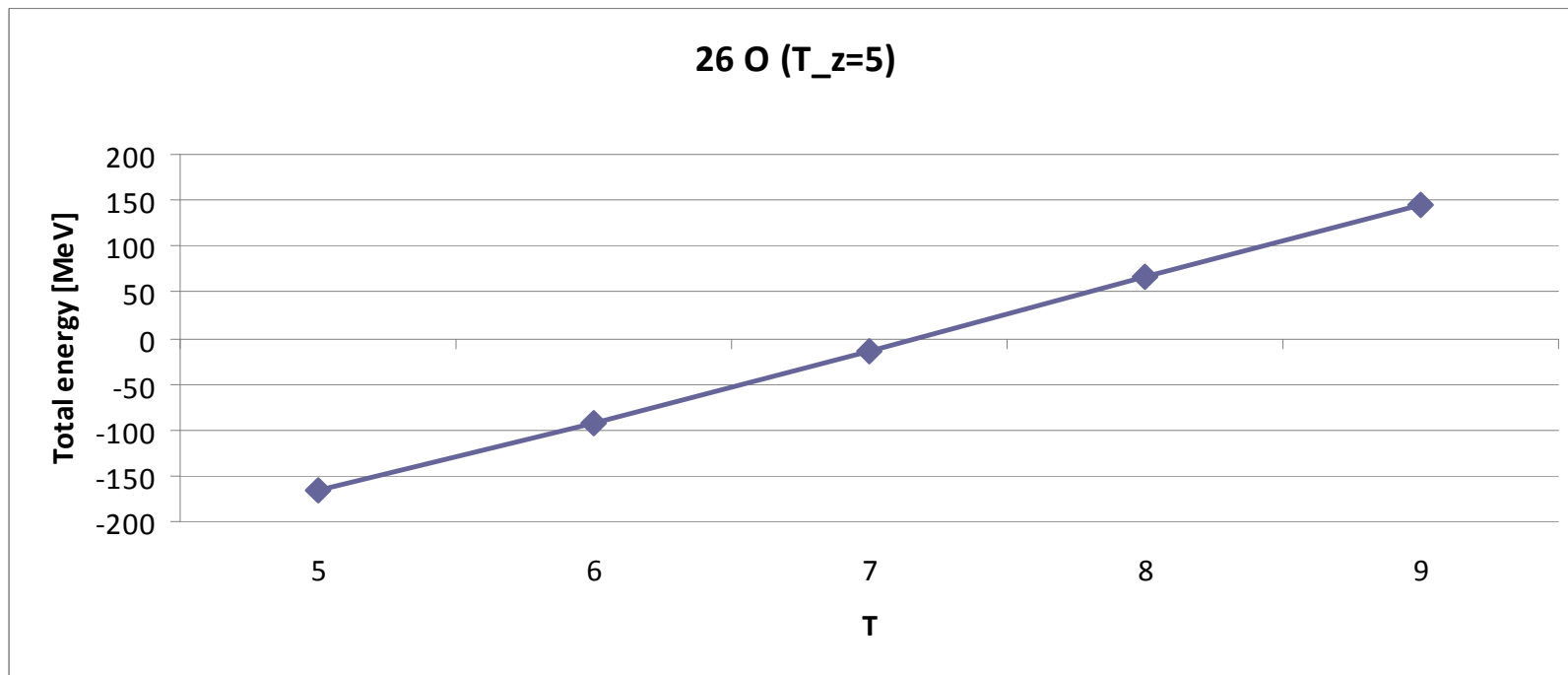
## Zależność energii stanów bazy od izospinu w jądrach o $T_z=0$



Wbrew oczekiwaniom, energie kolejnych stanów  
rosną liniowo w  $T$ , a nie  $\sim T(T+1)$

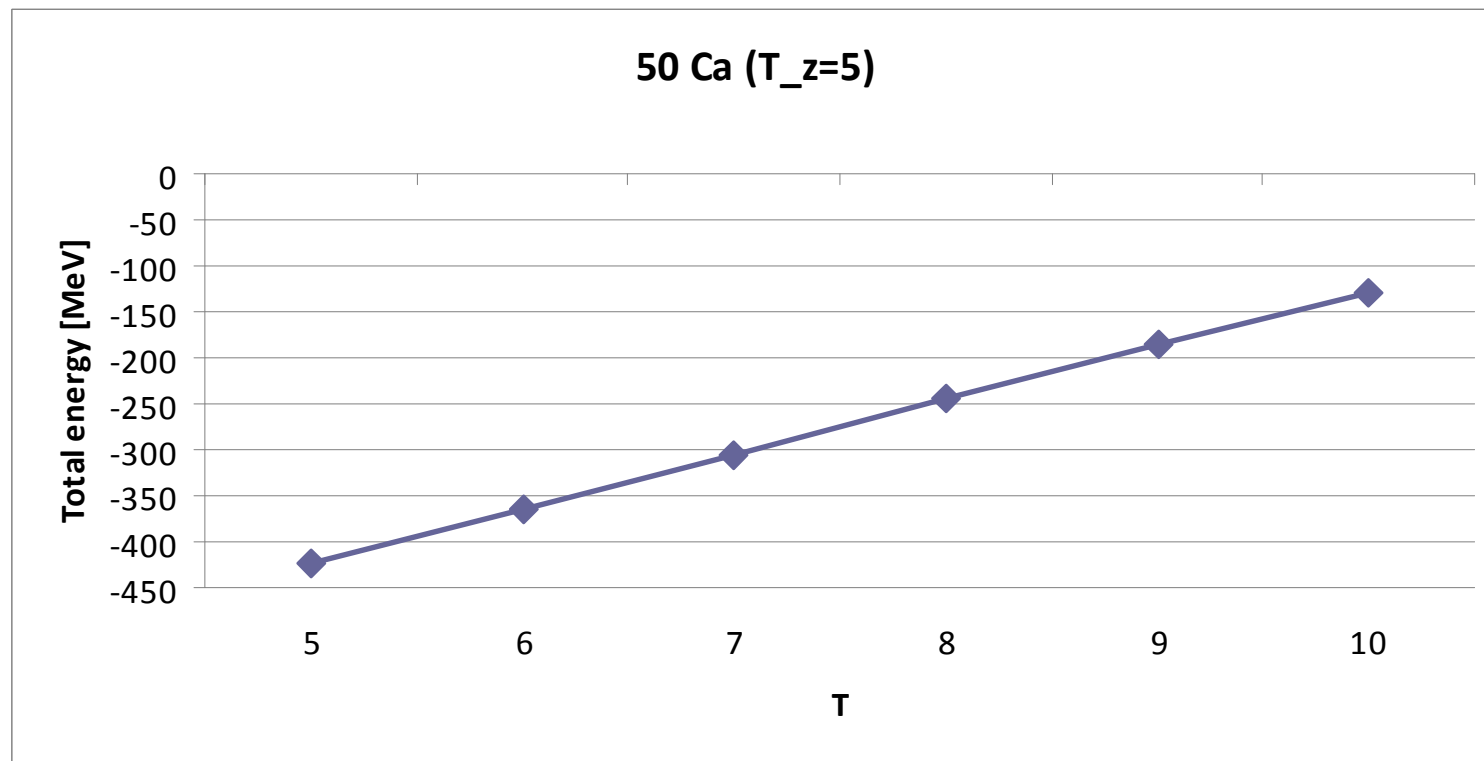


## Zależność energii stanów bazy od izospinu w jądrach o $T_z=5$



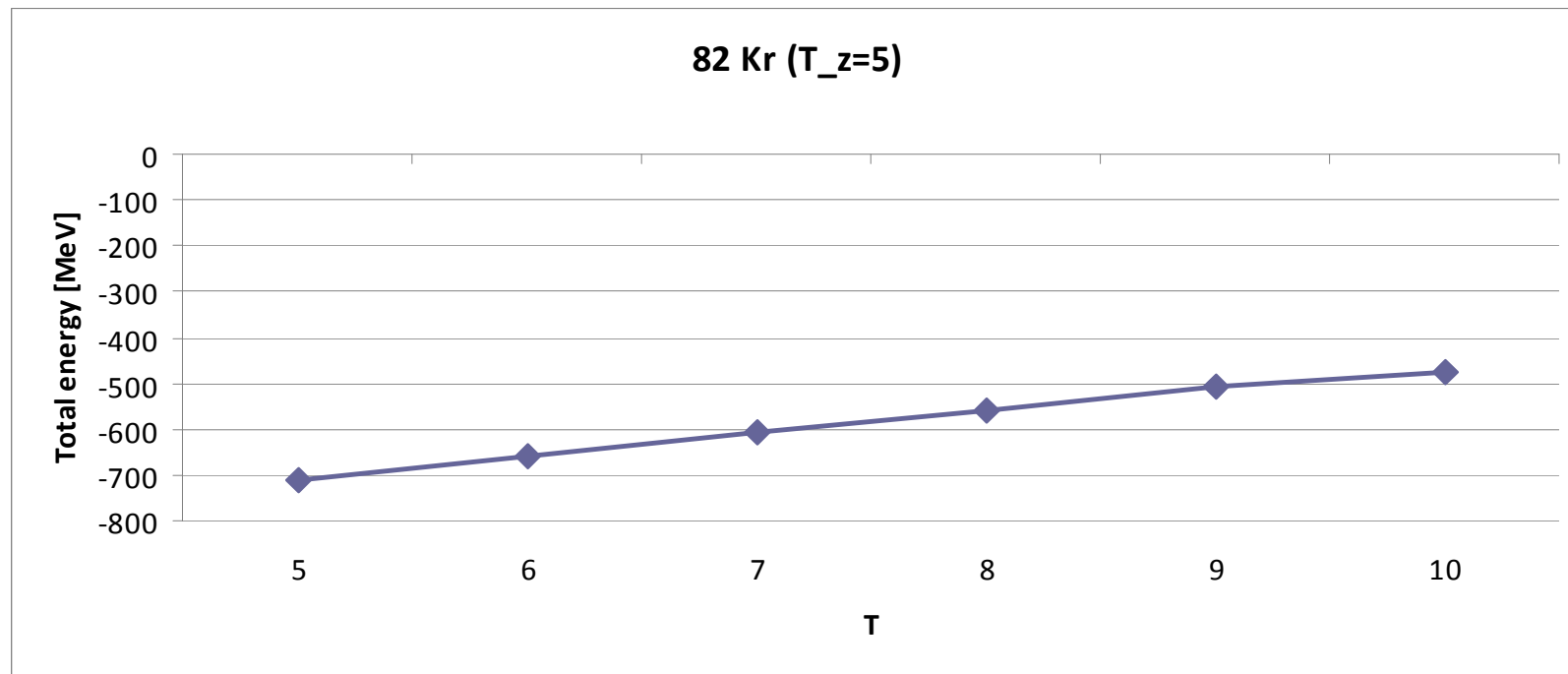
Wbrew oczekiwaniom, energie kolejnych stanów  
rosną liniowo w  $T$ , a nie  $\sim T(T+1)$

## Zależność energii stanów bazy od izospinu w jądrach o $T_z=5$



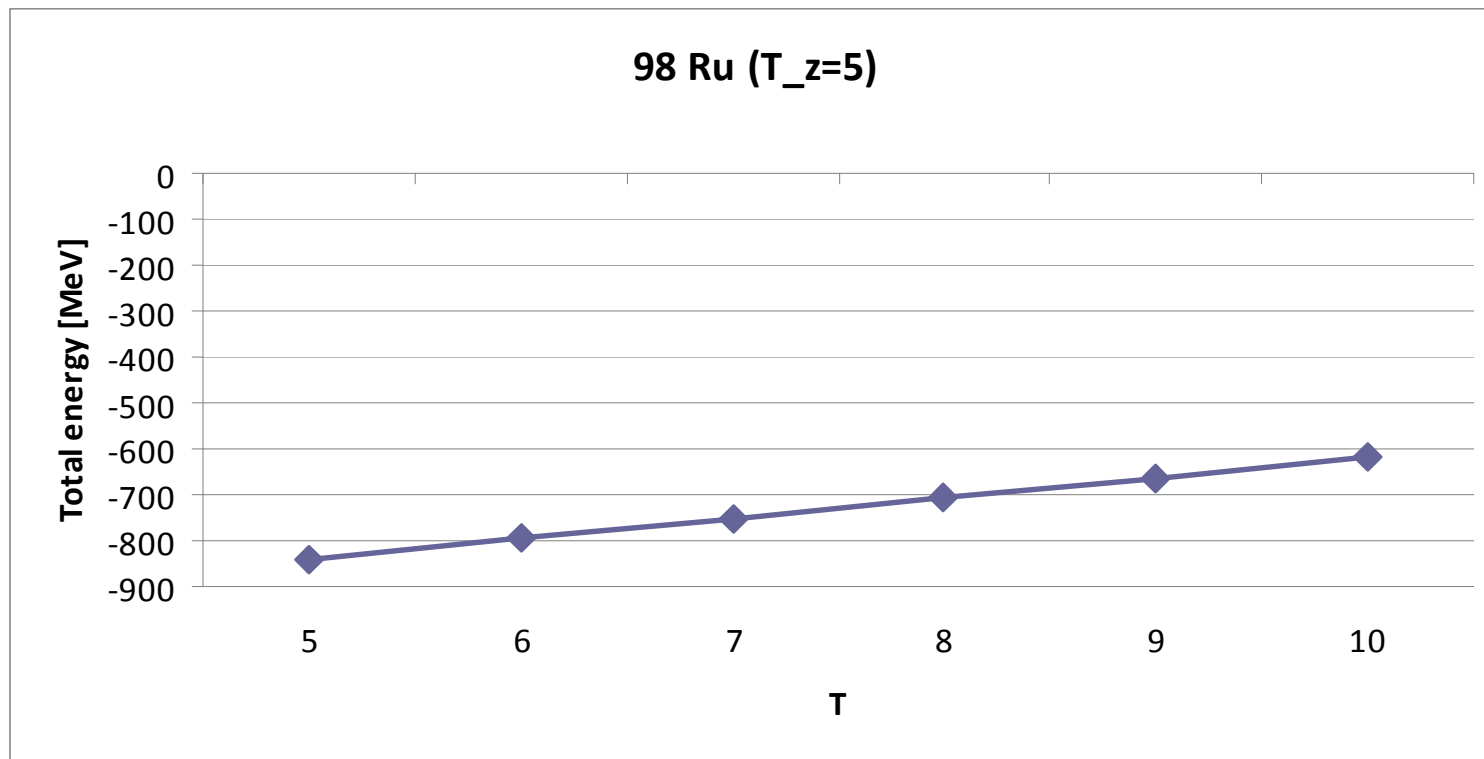
Wbrew oczekiwaniom, energie kolejnych stanów  
rosną liniowo w  $T$ , a nie  $\sim T(T+1)$

## Zależność energii stanów bazy od izospinu w jądrach o $T_z=5$



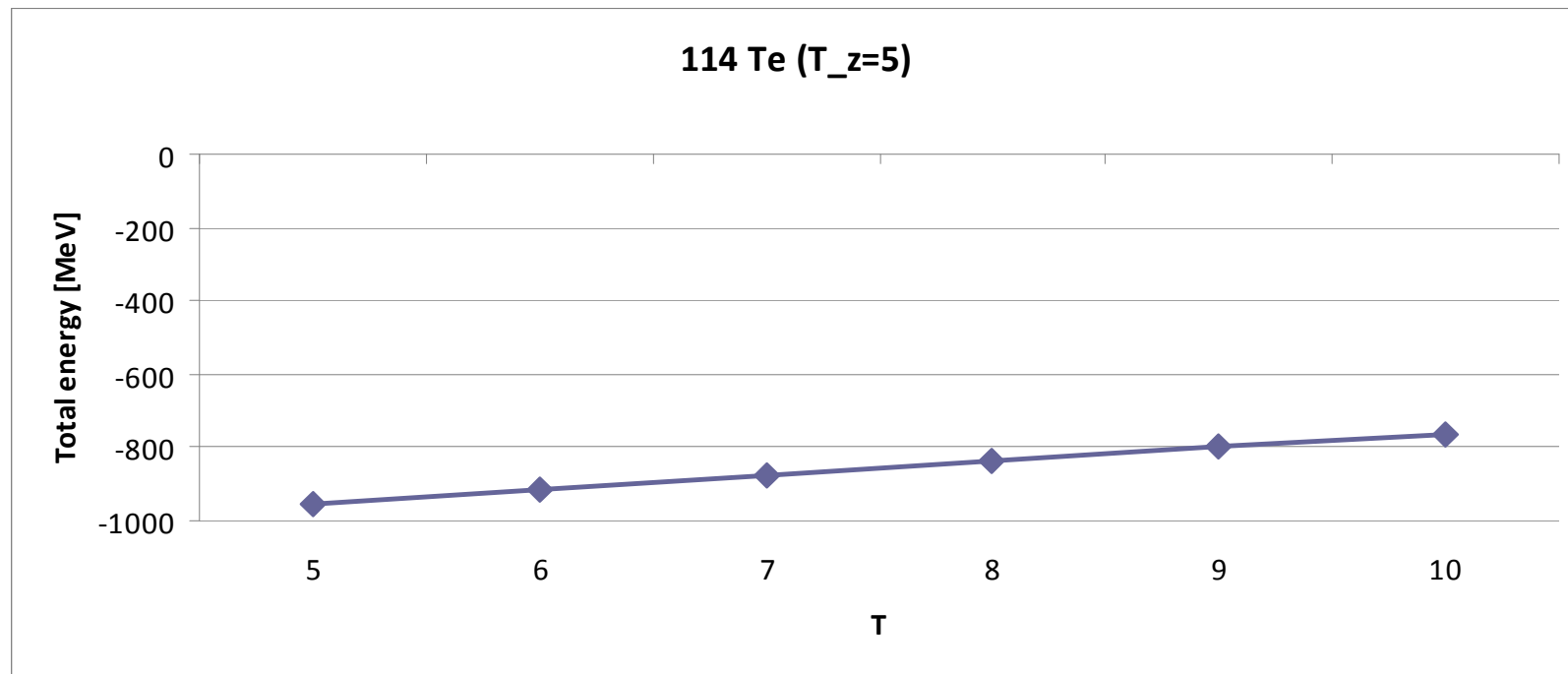
Wbrew oczekiwaniom, energie kolejnych stanów  
rosną liniowo w  $T$ , a nie  $\sim T(T+1)$

## Zależność energii stanów bazy od izospinu w jądrach o $T_z=5$



Wbrew oczekiwaniom, energie kolejnych stanów  
rosną liniowo w  $T$ , a nie  $\sim T(T+1)$

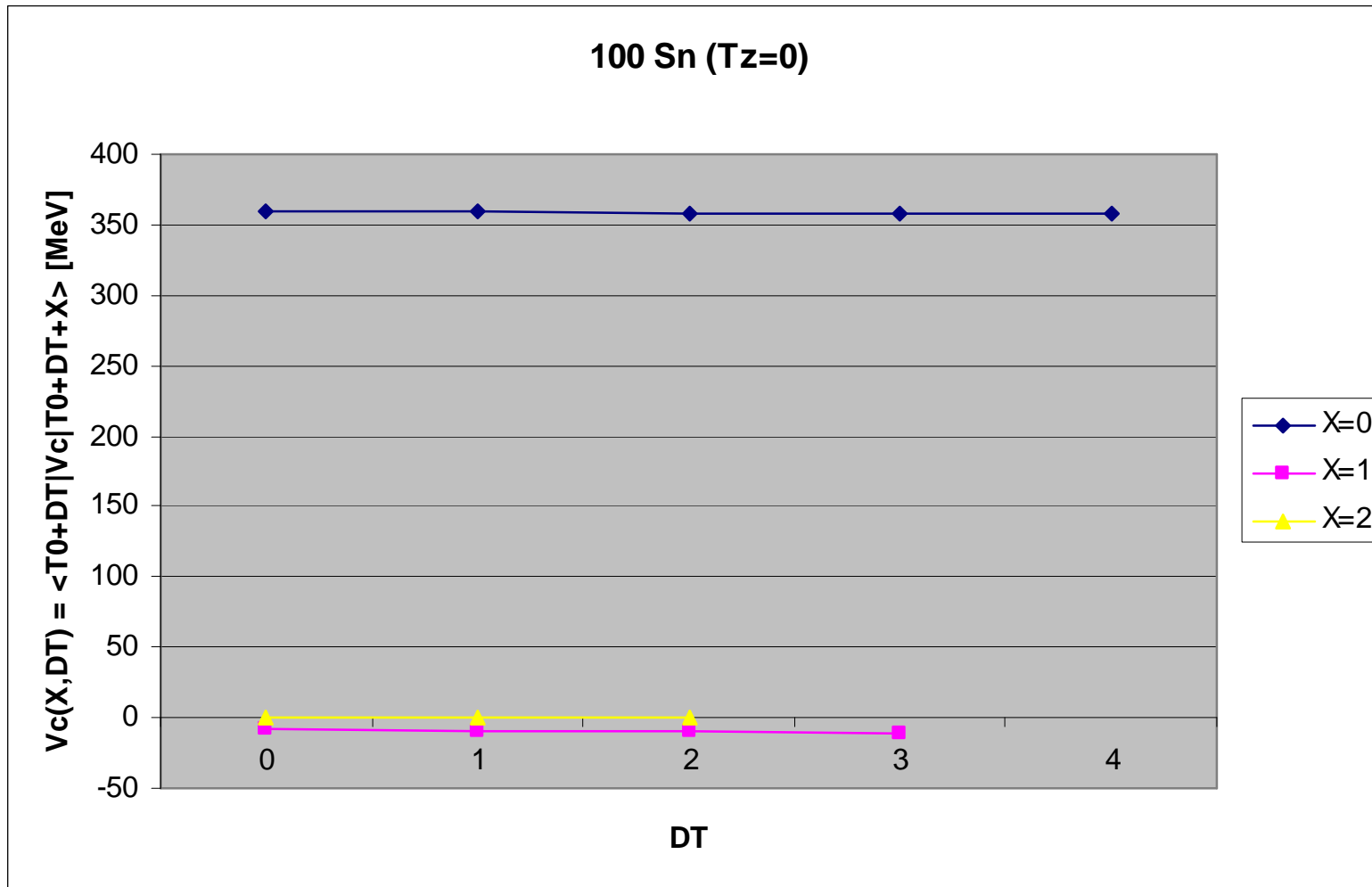
## Zależność energii stanów bazy od izospinu w jądrach o $T_z=5$



Wbrew oczekiwaniom, energie kolejnych stanów  
rosną liniowo w  $T$ , a nie  $\sim T(T+1)$

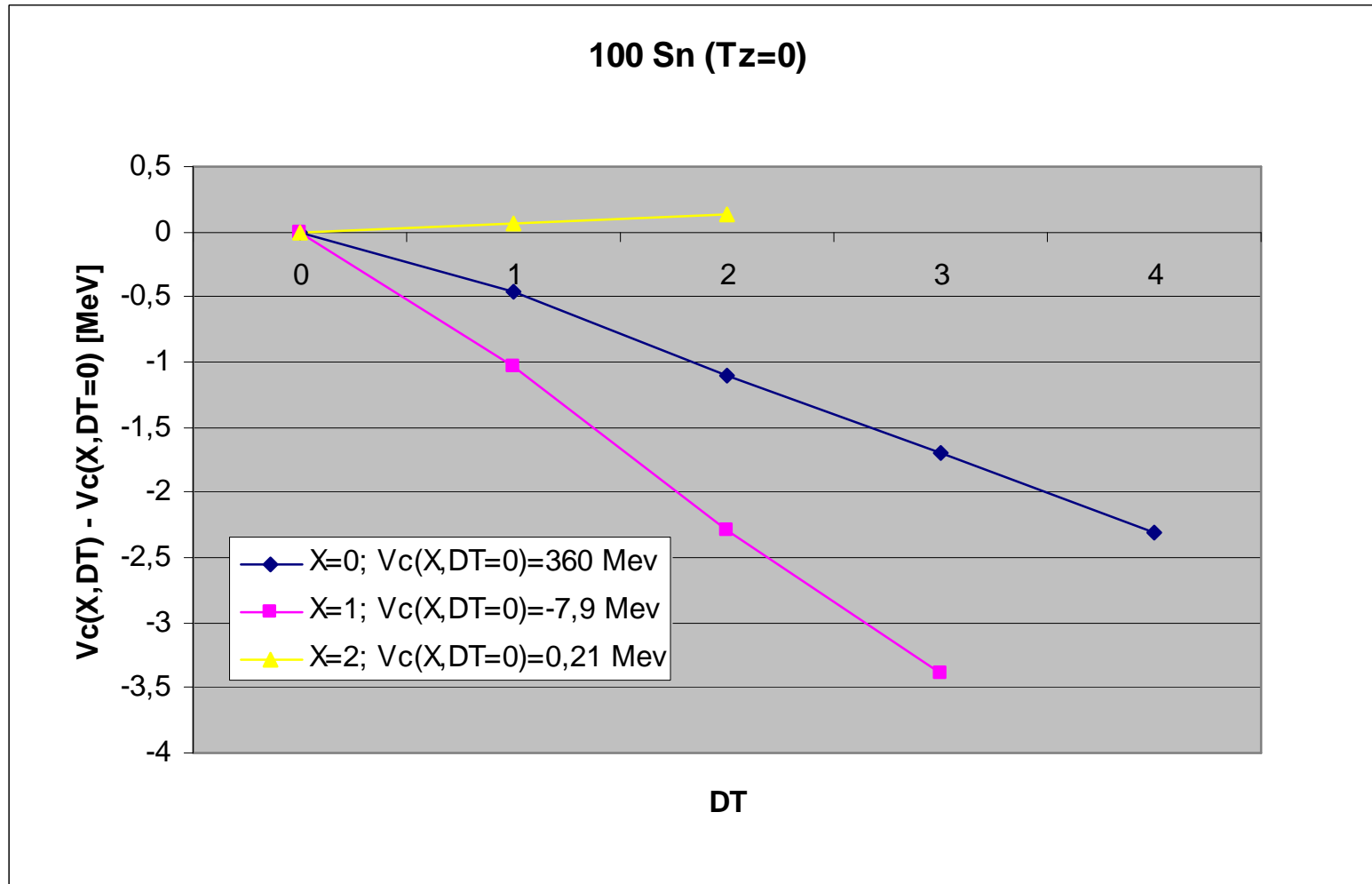
# Struktura izospinowa macierzy kulombowskiej w $^{100}\text{Sn}$

$$V_c(\Delta T, X) = \langle T=T_z+\Delta T | V_c | T=T_z+\Delta T+X \rangle$$



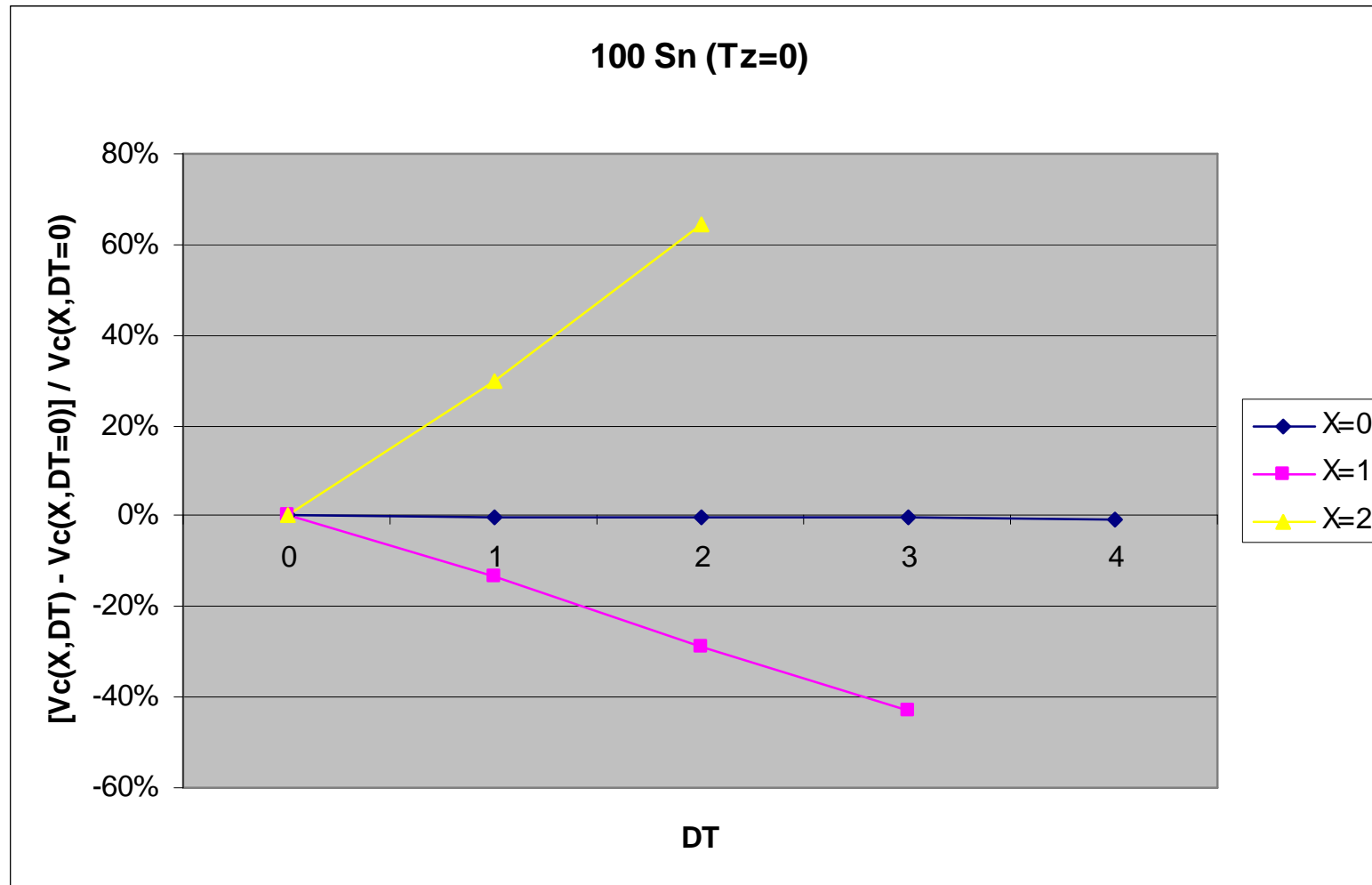
# Struktura izospinowa macierzy kulombowskiej w $^{100}\text{Sn}$

$$V_c(\Delta T, X) = \langle T=T_z+\Delta T | V_c | T=T_z+\Delta T+X \rangle$$



# Struktura izospinowa macierzy kulombowskiej w $^{100}\text{Sn}$

$$V_c(\Delta T, X) = \langle T=T_z+\Delta T | V_c | T=T_z+\Delta T+X \rangle$$

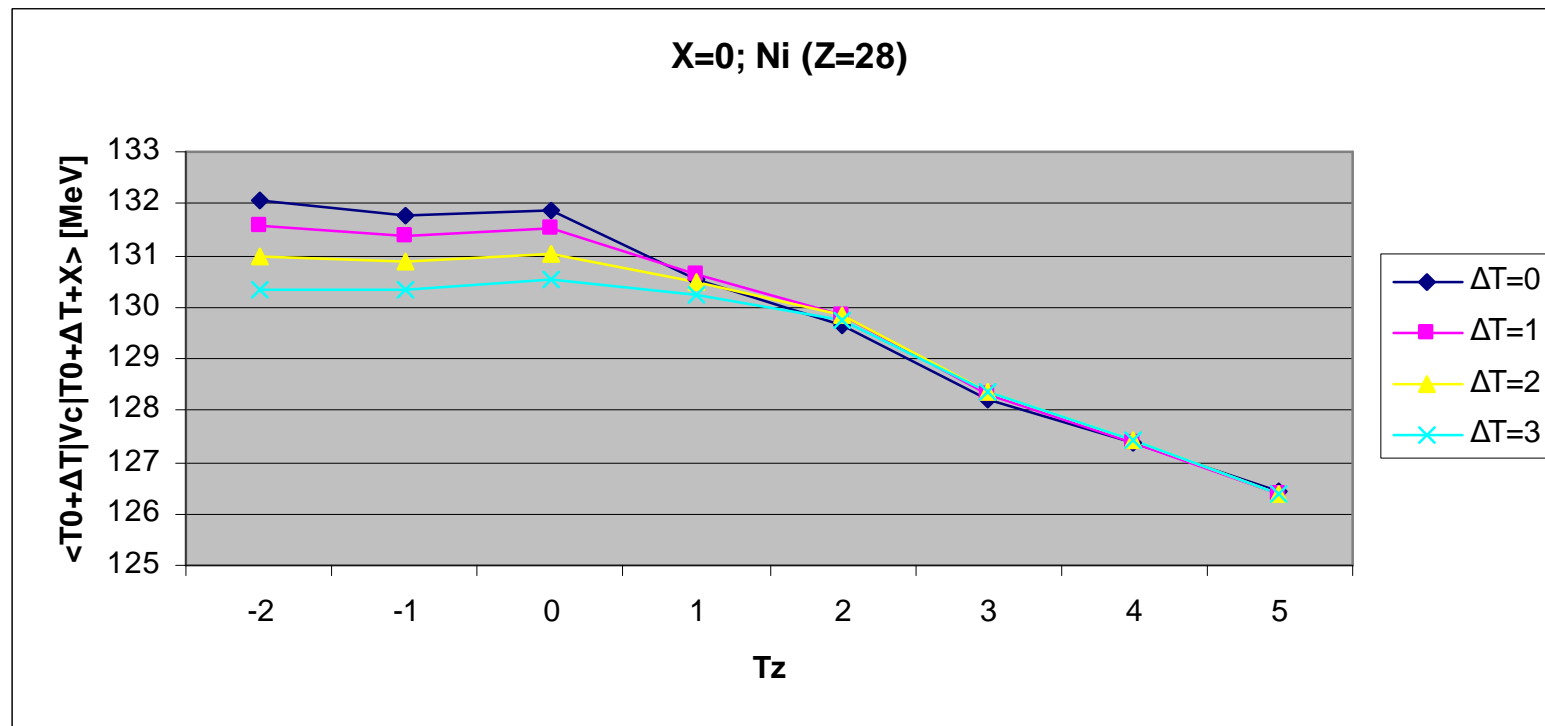




# Struktura izospinowa macierzy kulombowskiej

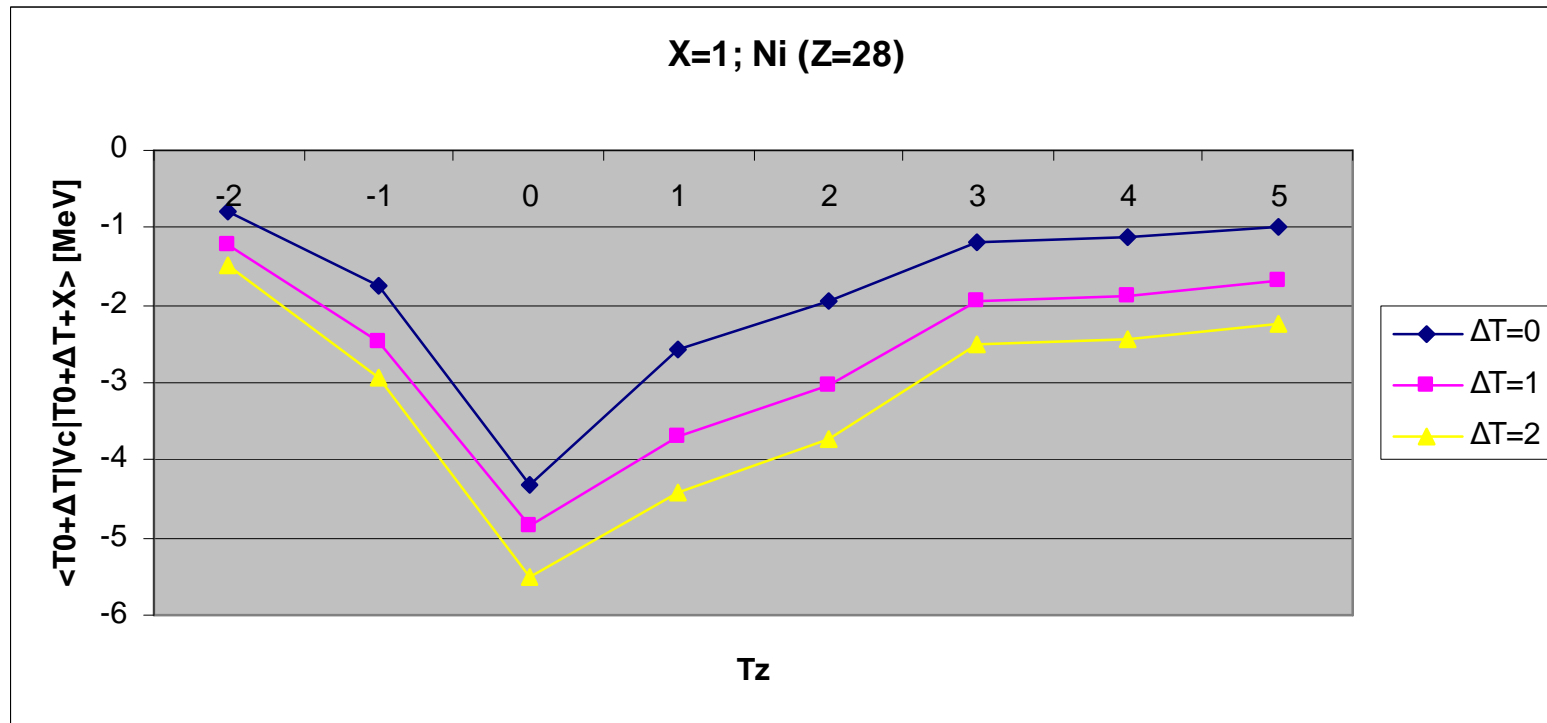
w jądrach Ni ( $Z=28$ )

$$V_c(\Delta T, X) = \langle T=T_z+\Delta T | V_c | T=T_z+\Delta T+X \rangle$$



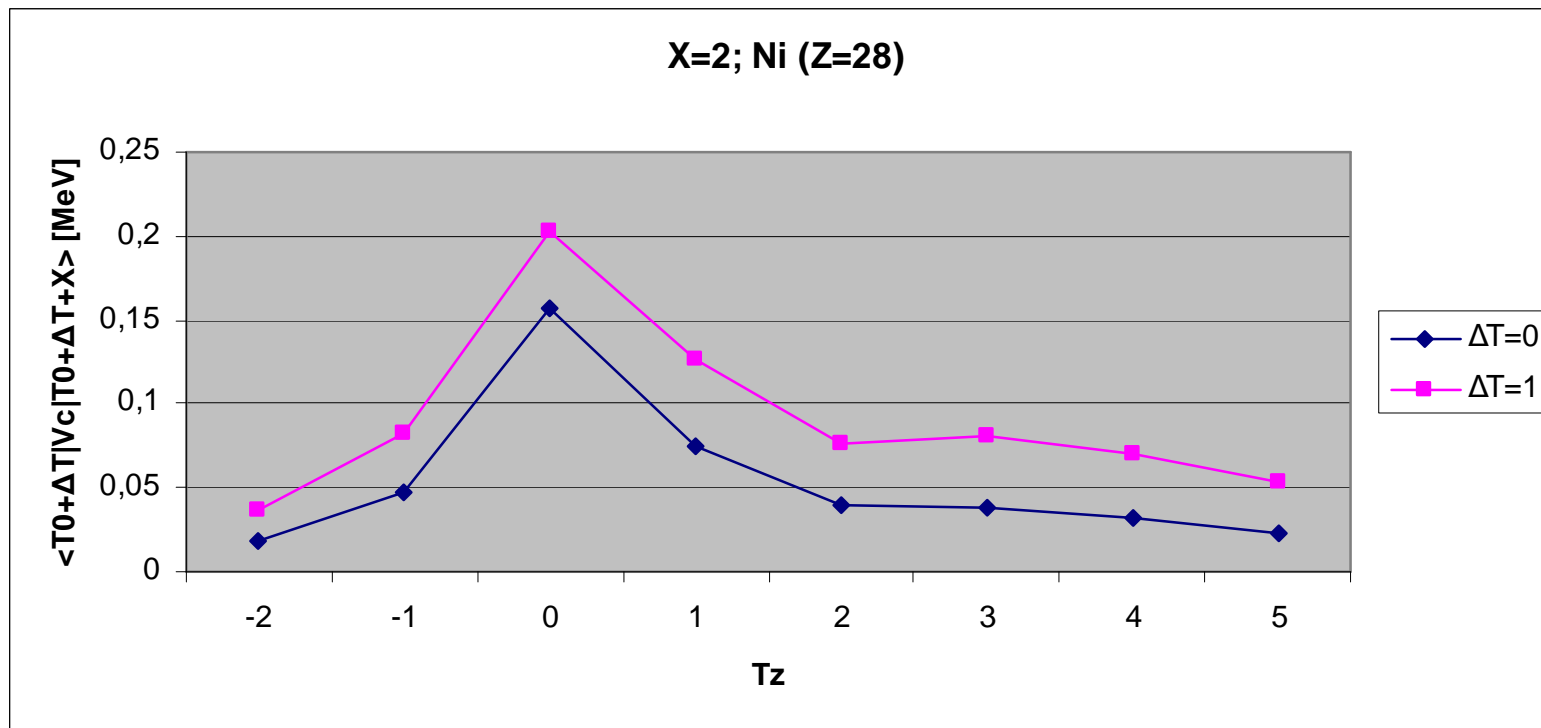
# Struktura izospinowa macierzy kulombowskiej w jądrach Ni (Z=28)

$$V_c(\Delta T, X) = \langle T=T_z+\Delta T | V_c | T=T_z+\Delta T+X \rangle$$



# Struktura izospinowa macierzy kulombowskiej w jądrach Ni (Z=28)

$$V_c(\Delta T, X) = \langle T=T_z+\Delta T | V_c | T=T_z+\Delta T+X \rangle$$



## Podsumowanie

- Zostało stworzone narzędzie umożliwiające rzutowanie na określony izospin,
- Pod warunkiem wytłumaczenia zależności wyników od parametracji siły Skyrma, wydaje się możliwe testowanie modelu standardowego z poziomu fizyki jądrowej,
- Do  $^{100}\text{Sn}$  wystarczającą liczbą powłok jest  $N_0 = 12$ ,
- Mieszanie izospinowe rośnie z masą jądra,
- Obserwujemy zanik mieszania ze wzrostem  $|T_z|$ ,
- Energia HF (przed rzutowaniem) jest prawie dobra: leży zaledwie  $\sim 30$  keV powyżej energii uzyskanej po rediagonalizacji,
- Wyniki silnie zależą od wybranej parametryzacji siły Skyrma,
- Obserwujemy liniową zależność diagonalnych elementów macierzowych hamiltonianu od  $T$ ,
- Poznajemy strukturę izospinową macierzy hamiltonianu.

## Podsumowanie

- Zostało stworzone narzędzie umożliwiające rzutowanie na określony izospin,
- Pod warunkiem wytłumaczenia zależności wyników od parametracji siły Skyrma, wydaje się możliwe testowanie modelu standardowego z poziomu fizyki jądrowej,
- Do  $^{100}\text{Sn}$  wystarczającą liczbą powłok jest  $N_0 = 12$ ,
- Mieszanie izospinowe rośnie z masą jądra,
- Obserwujemy zanik mieszania ze wzrostem  $|T_z|$ ,
- Energia HF (przed rzutowaniem) jest prawie dobra: leży zaledwie  $\sim 30$  keV powyżej energii uzyskanej po rediagonalizacji,
- Wyniki silnie zależą od wybranej parametryzacji siły Skyrma,
- Obserwujemy liniową zależność diagonalnych elementów macierzowych hamiltonianu od  $T$ ,
- Poznajemy strukturę izospinową macierzy hamiltonianu.

Dziękuję z uwagą !